



UNIVERSITY OF
OXFORD

Laboratorní astrofyzika

Kateřina Falk

Astrotábor, Vlčková

6. srpna 2010

Obsah přednášky

- Úvod
- Plazma ve vesmíru
- Prehled astrofyzikalních objektů, které jsou simulovatelné v laboratořích na Zemi
- Diagnostické systémy v různých experimentech
- Příklady experimentu
- Z-pinche:
 - fyzikální princip
 - světové experimenty
 - simulace astrofyzikalních vytrisků
- Lasery:
 - fyzikální princip
 - gigantické lasery a fuze
 - stavova rovnice nitrá velkých planet a hvězd
 - nekolizní soky v mezihvězdném mediu

Plazma ve vesmíru

Co je to plazma?

Učená definice nám o plazmatu říká: „Plazma je kvazineutrální soubor částic s volnými nosiči nábojů, který vykazuje kolektivní chování“. Pojdme si ji trochu polidštít. To nejdůležitější je, že se v plazmatu nachází volné nosiče náboje. Atomy jsou alespoň částečně ionizované. Stupeň ionizace nemusí být příliš veliký, je-li plazmový útvar dosti rozsáhlý. Právě volné nosiče náboje plazma zcela odlišují od plynů. Plazma je vodivé a silně reaguje na elektrická a magnetická pole. Druhá vlastnost je kvazineutralita. Požadujeme, aby v makroskopických objemech bylo vždy v průměru stejně množství kladných a záporných částic. Navenek se plazma jeví jako nenabitá tekutina (kapalina či plyn). Požadavek kvazineutrality vyčleňuje z definice plazmatu nabité svazky částic, které mají přece jen poněkud odlišné vlastnosti. Poslední součástí definice plazmatu je jeho kolektivní chování. Tím se rozumí, že plazma je schopné jako celek svými projevy generovat globální elektrická a magnetická pole a na takováto globální pole reagovat. Do plazmatu většinou nezahrnujeme různé svazky nabitých částic (nesplňují kvazineutralitu) a velmi slabě ionizované plyny – například plamen svíčky (nesplňují kolektivní chování). Pojem plazmatu poprvé použil *Irwing Langmuir* (1881-1957).

- Běžné plazma: elektronové obaly atomů jsou částečně poškozené (vysokou teplotou nebo tlakem). Volné elektrony jsou zodpovědné za plazmatické vlastnosti látky.
- Termonukleární plazma: atomární obaly neexistují, látka je směsicí holých jader a volných elektronů. V tomto stavu je plazma v jádřech hvězd, kde probíhá TJ syntéza.

Plazma v laboratoři

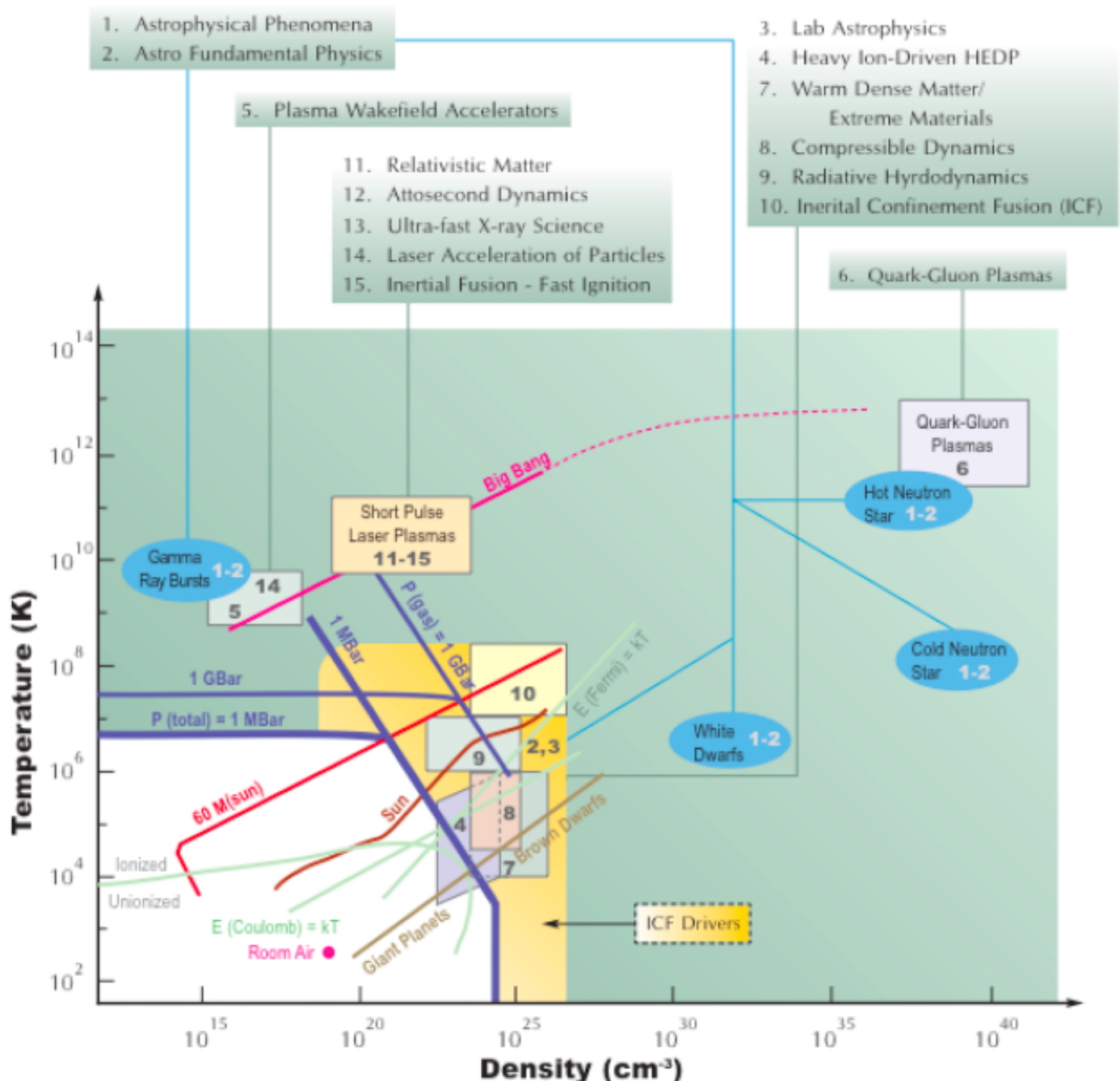
Nejtypičtější příklady jsou:

- laserové plazma – doba života: $10-12 \div 10-9$ s
- pulsní plasma – doba života: $10-9 \div 10-6$ s
- tokamak – doba života: 1 s
- studené plazma – doba života: hodiny, dny, roky



Fazovy diagram

Map of the HED Universe



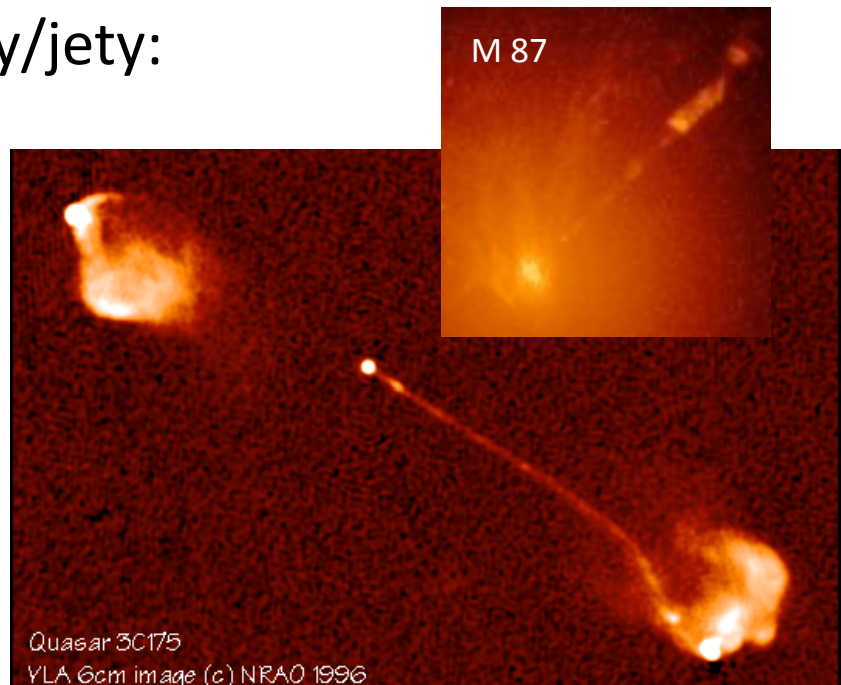
Map of the high energy density physics regime in the density - temperature plane. High energy density as defined in this report corresponds to matter under the extreme conditions in the region above and to the right of the 1 Mbar (heavy blue) curve. The numbered boxes correspond to the 15 science thrust areas identified in this report and show a representative parameter regime for each of these thrust areas.

Astrofyzikalni objekty

- Astrofyzikalni vytrisky/jety:

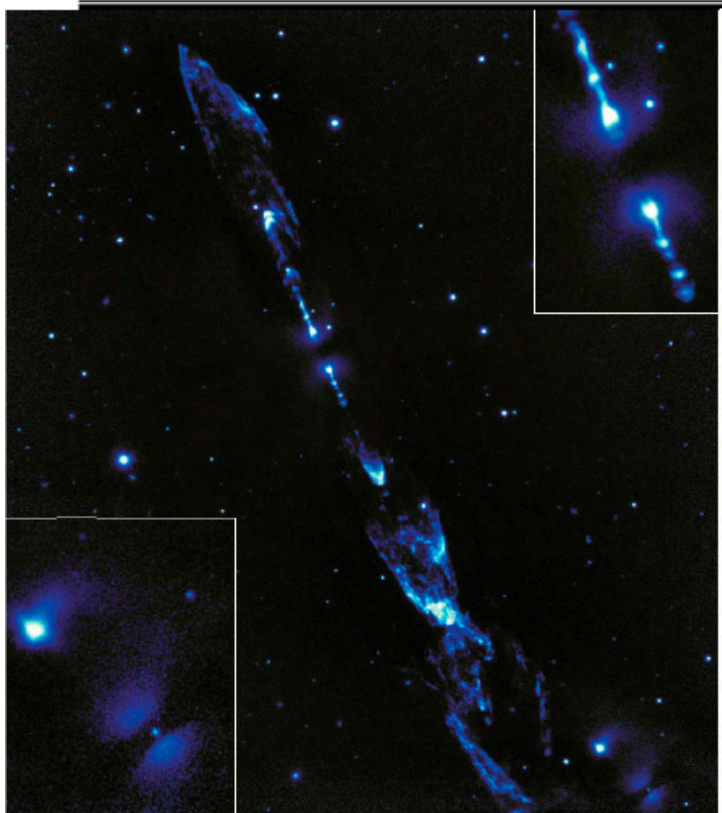
Jety se casto objevuji v energetickych procesech jako pad hmoty do cerne diry nebo na povrch neutronove hvezdy – centra akrecnich disk.

Zajimavy fenomen je kolize jetu s mezistelarni hmotou/plazmou.

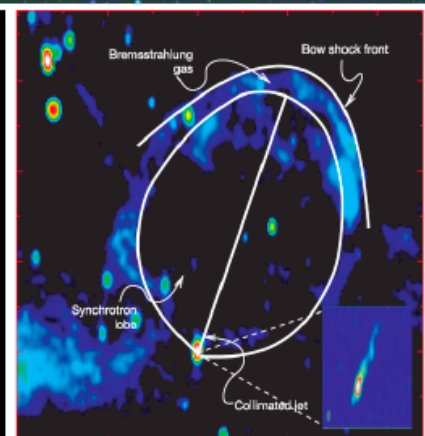
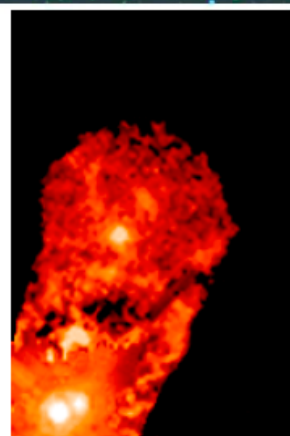
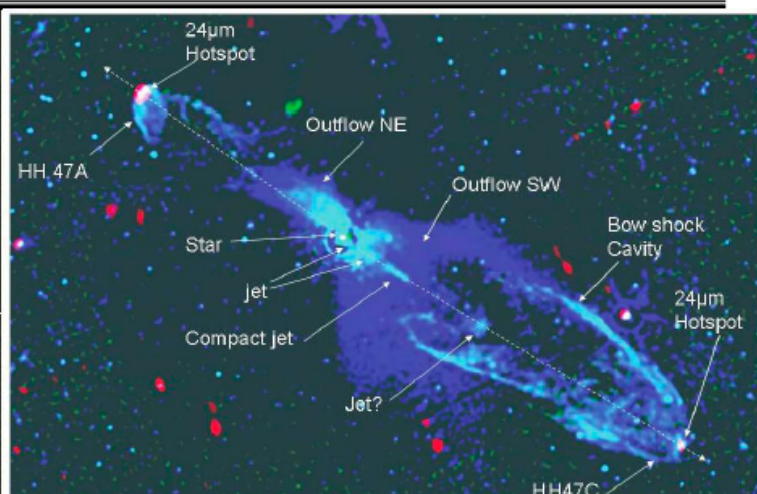


Quasar 3C175
VLA 6cm image (c) NRAO 1996

Jets in the Universe

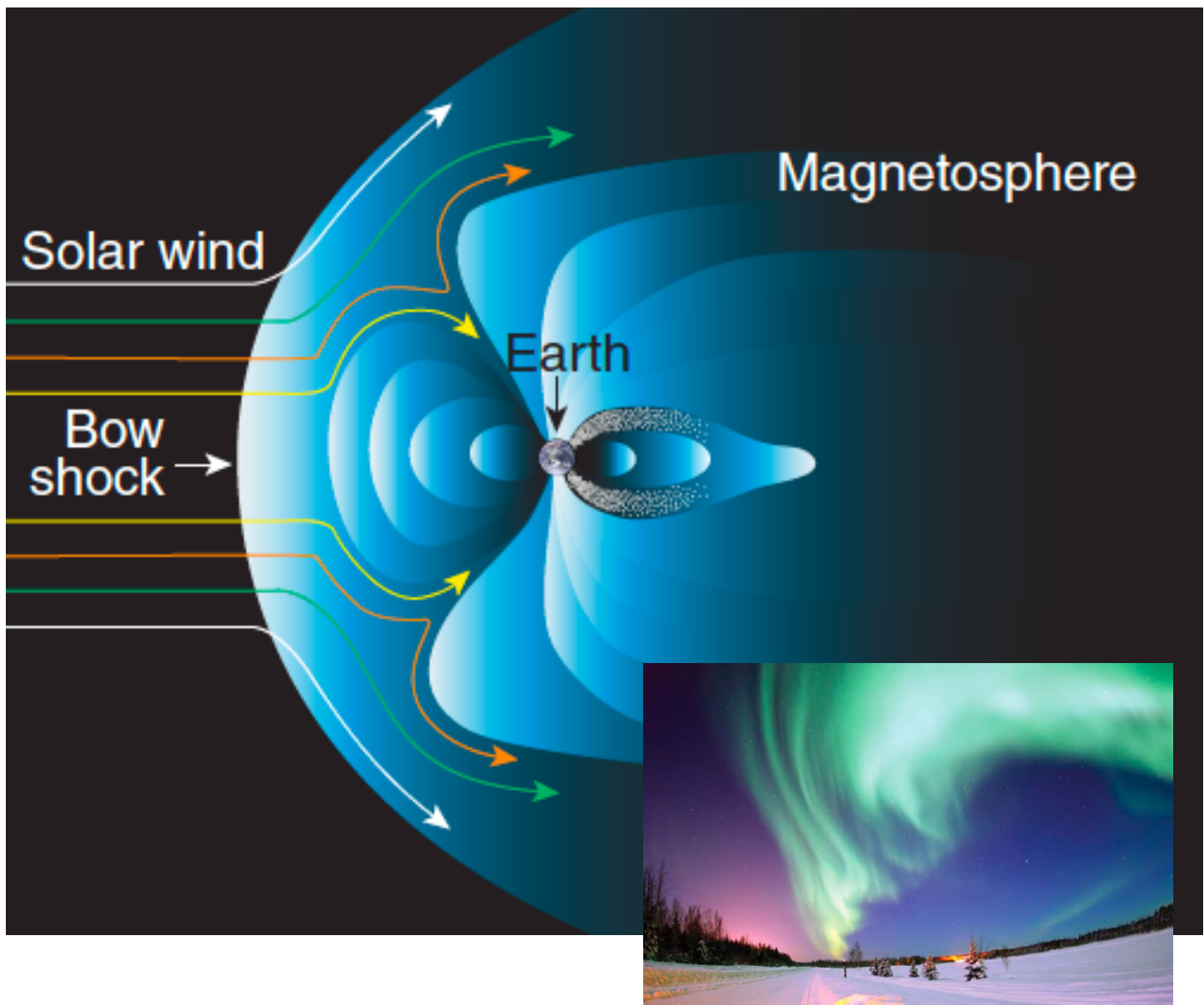


Jets are “fossil” record of activity and give information on inaccessible source regions.



Astrofyzikalni objekty

- Sokove vlny v mezi-planetarnim mediu:
 - nekolizni soky v meziplanetarnim mediu jsou velkou zahadou, jelikoz v nich castice neinteraguji skrz Coulombovych interakce, ale pomoci plazmovych vln (sirka soku je mensi nez kolizni delka castic)
 - pohyb castic se neda jednoduse predpovedet pomocí teorie, experimentalni investigace je nutna



Astrofyzikalni objekty

- Nitra velkych planet/hnedych trpasliku:

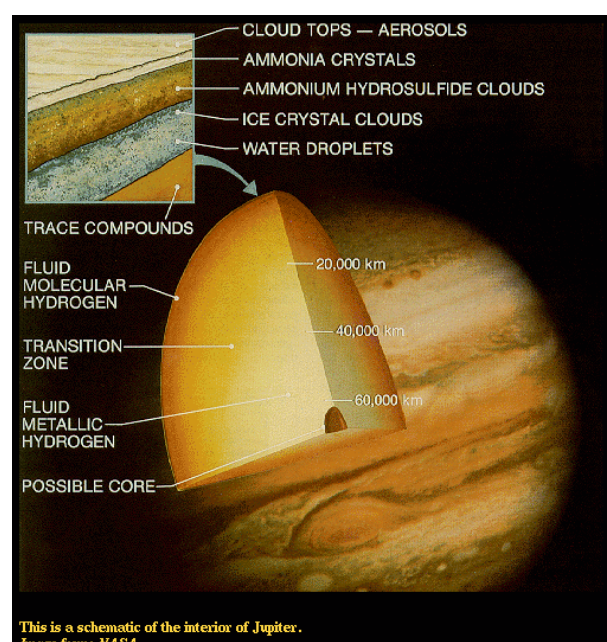
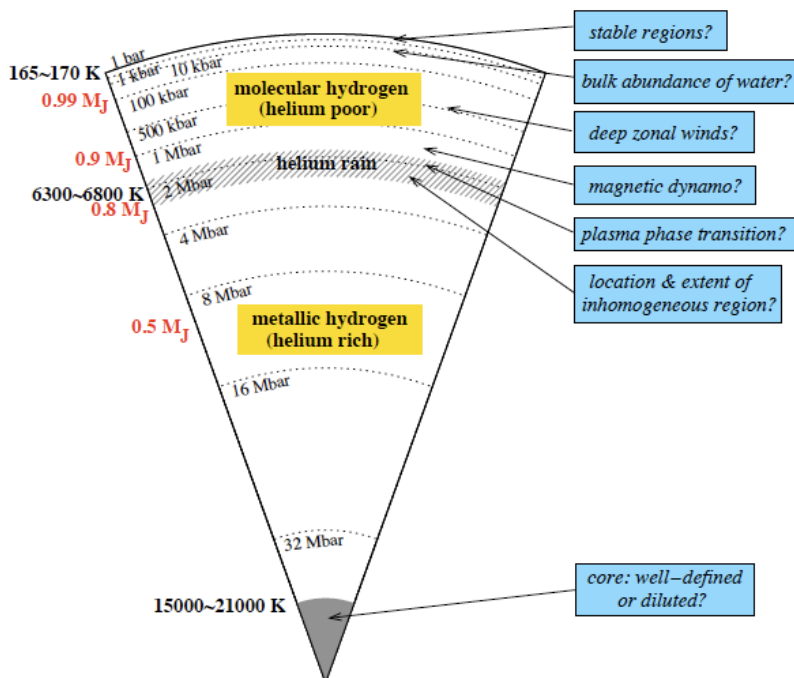
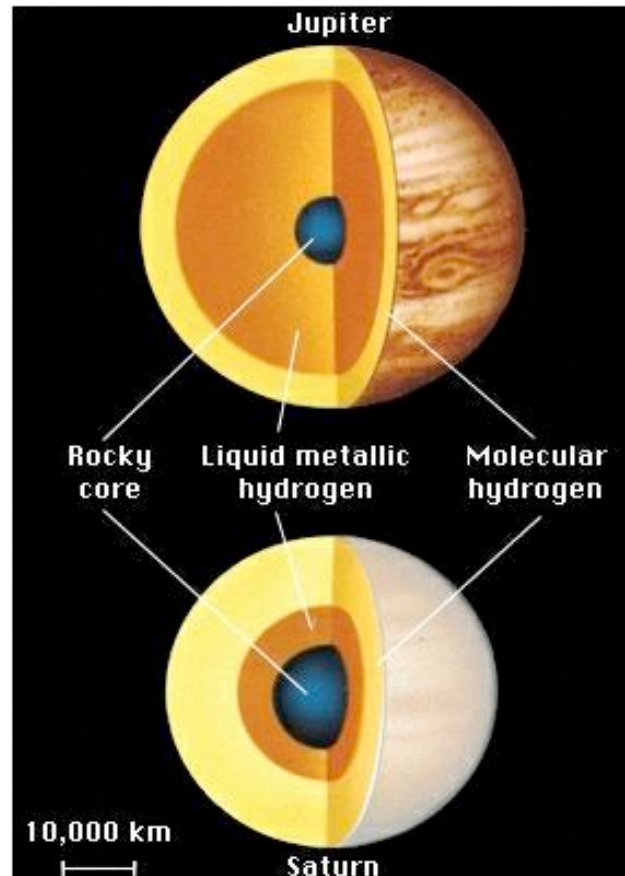
Metalizace vodiku:

- Pod jakym tlakem? teplotou?
- Zmena stavu plynula nebo nahla
(first order/plasma phase transition)

Stavove rozdeleni H/He :

- Atmosfericky podil H/He se vyrazne lisi od protoplanetarni mlhoviny
(He schovane hluboko uvnitr?)
- Kondensace He v metalicke obalce vodiku
(He se hur ionizuje nez H)

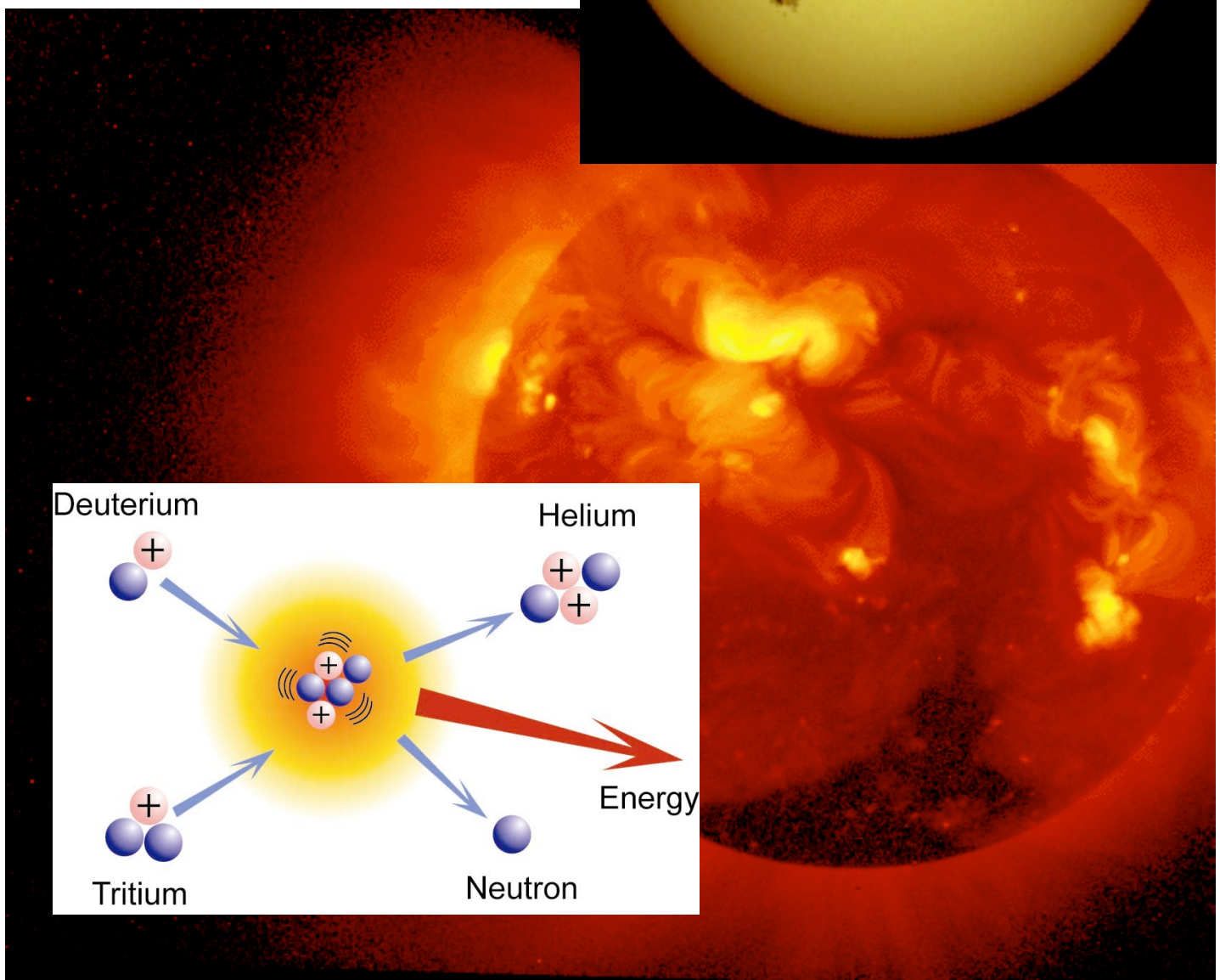
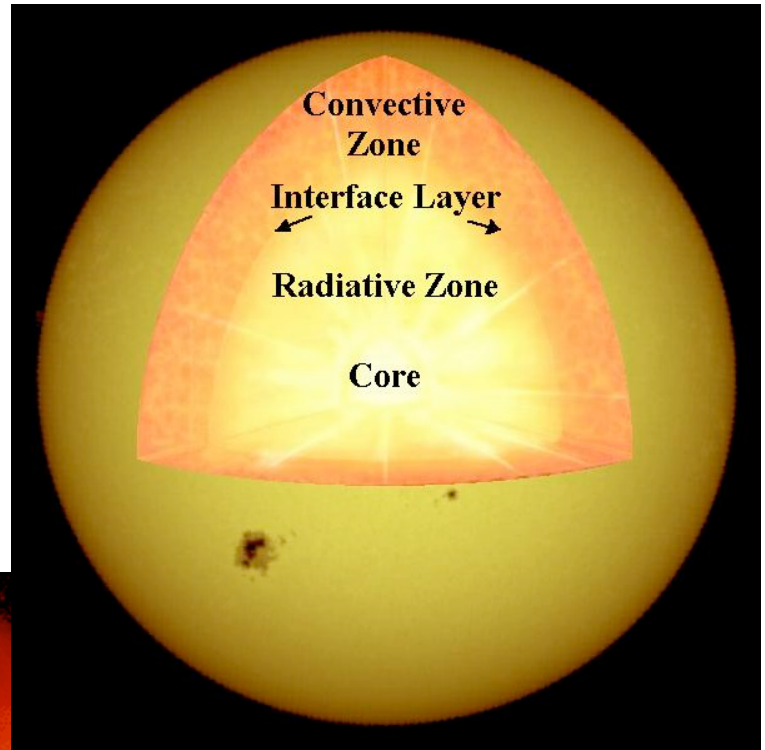
Pevne jadro?



Astrofyzikalni objekty

- Nitra hvezd:

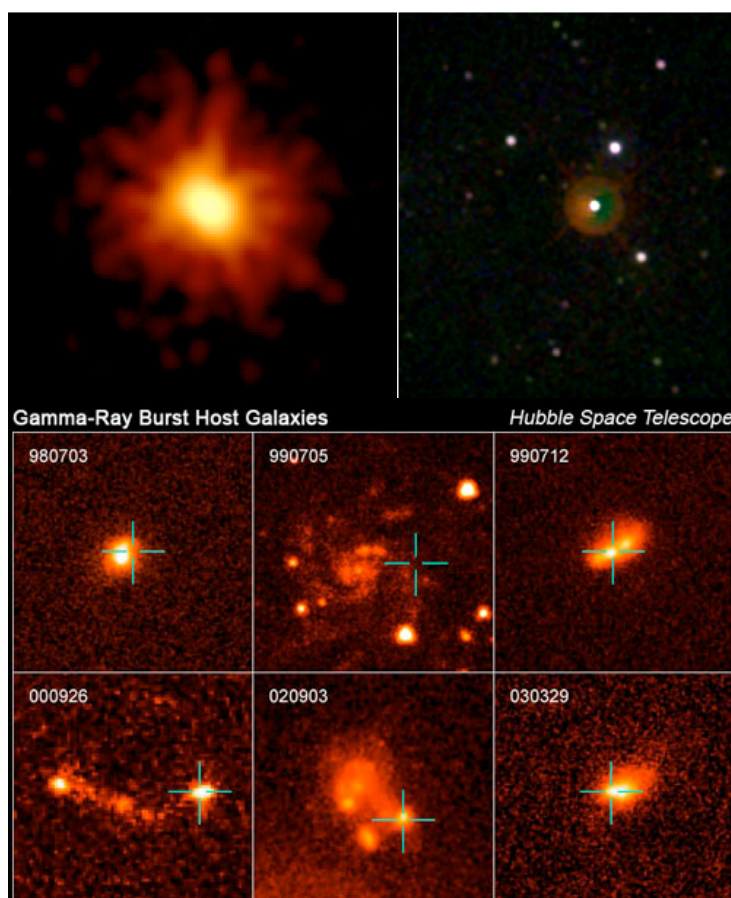
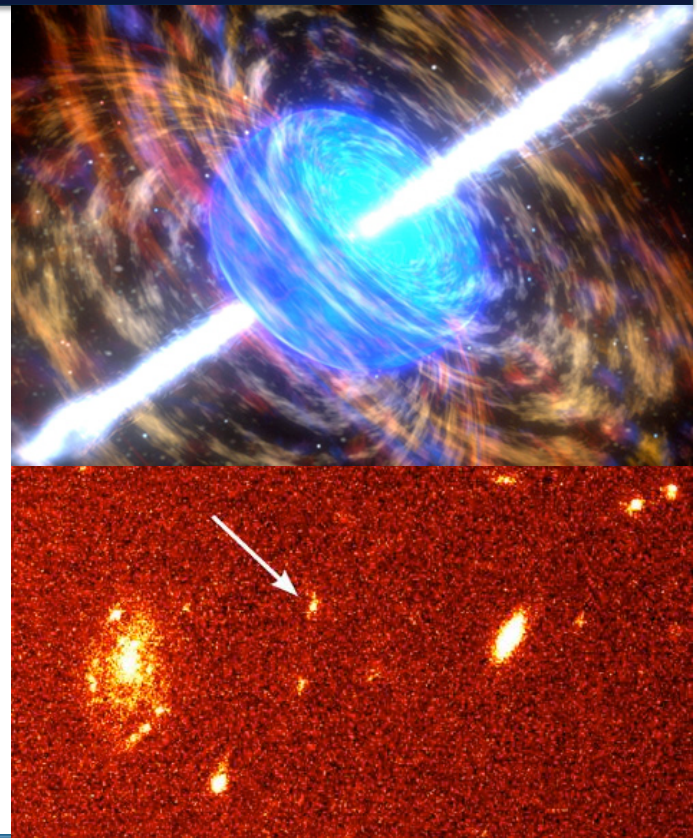
Studium termonuklearnych reakci, ktere urzuji teplo v "peci" v jadrech vsech hvezd, vctne naseho Slunce muze jednou byt hlavnim cistym zdrojem energie na Zemi – jaderna fuze.



Astrofyzikalni objekty

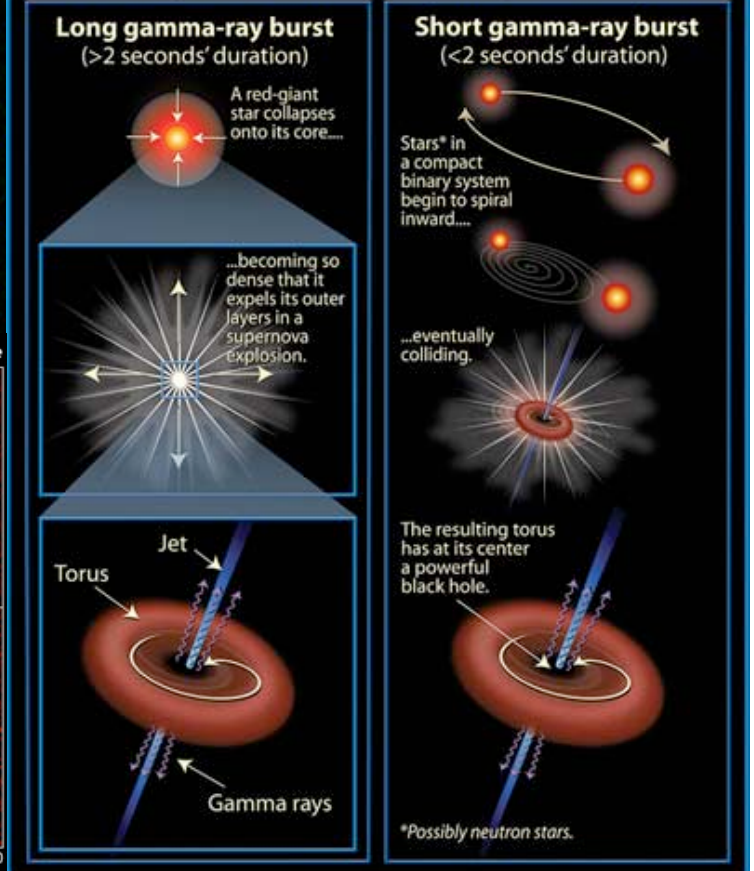
- Gamma bursts/zablesky:

Silne a nahle vysoko-energetické zablesky v oboru gama jsou pravdepodobně vysledkem tech nejvetsich explozi ve vesmíru. Nikdo vsak neví, jak presne tyto zablesky vznikají. Může se jednat o nahle vybuchy rotujicich supernov; kolize neutronovych hvezd; nekolizni soky; energetické procesy, kde vznikají anticastice (positrony), které rychle anihilují s hmotou, atd.



NASA, ESA, A. Fruchter (STScI), and the GOSH Collaboration

Gamma-Ray Bursts (GRBs): The Long and Short of It



Laboratorni astrofyzika

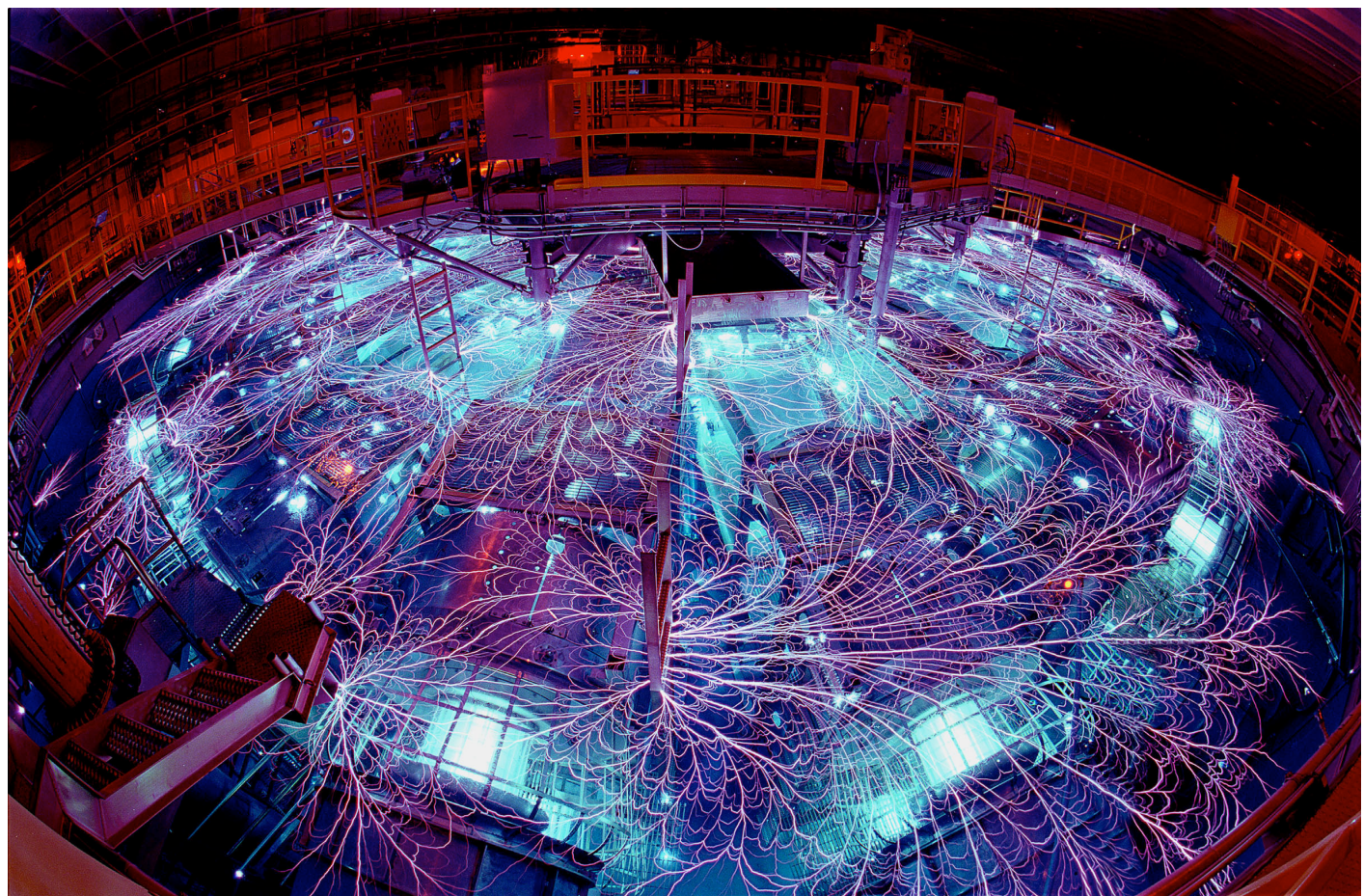
- Studium astrofyzikalich objektu v laboratori:
 - bezjednotkovym parametrum (simulace obrovskych objektu v miniaturnich meritkach)
 - vytvoreni identickych podminek (vysoke teploty a tlaky, vysokoenergeticke procesy, magneticka pole)
 - dostupnejsi laboratorni techniky, prime mereni

Name (description)	Formula	Typical value
Sonic Mach number	$M = v_j/c$	$\sim 10 - 50$
Density contrast	$H = \frac{\rho_{jet}}{\rho_{ambient}}$	$\sim 1 - 10$
Cooling parameter	$\chi \equiv \frac{\tau_{cool}}{R_j/v_j}$	$\sim 0.1 - 10$
Plasma beta	$\beta = \frac{P_{thermal}}{P_{magnetic}} = \frac{2n k_B T}{B_{tot}^2/2\mu_0}$	~ 1
Jet aspect ratio	L_j/R_j	$\sim 15 - 1000$
Localization parameter (fluid-like nature of the jet)	$\delta = \frac{\lambda_{mfp}}{R_j}$	$\ll 1$
Reynolds number (viscosity)	$Re = \frac{R_j v_j}{v}$	$\gg 1$
Peclet number (heat conduction)	$Pe = \frac{R_j v_j}{v_h}$	> 10

Table 1: Dimensionless parameters of astrophysical jets. Here v_j stands for the characteristic jet velocity, c is speed of sound, ρ is density, τ_{cool} is time for cooling time, k_B is the Boltzmann constant and T is temperature, L_j and R_j are the characteristic radius and length of the jet, λ_{mfp} is the mean free path of the particles perpendicular to the jet flow, v and v_h are the viscosity and thermal diffusivity respectively. [12, 8]

Z-pinche

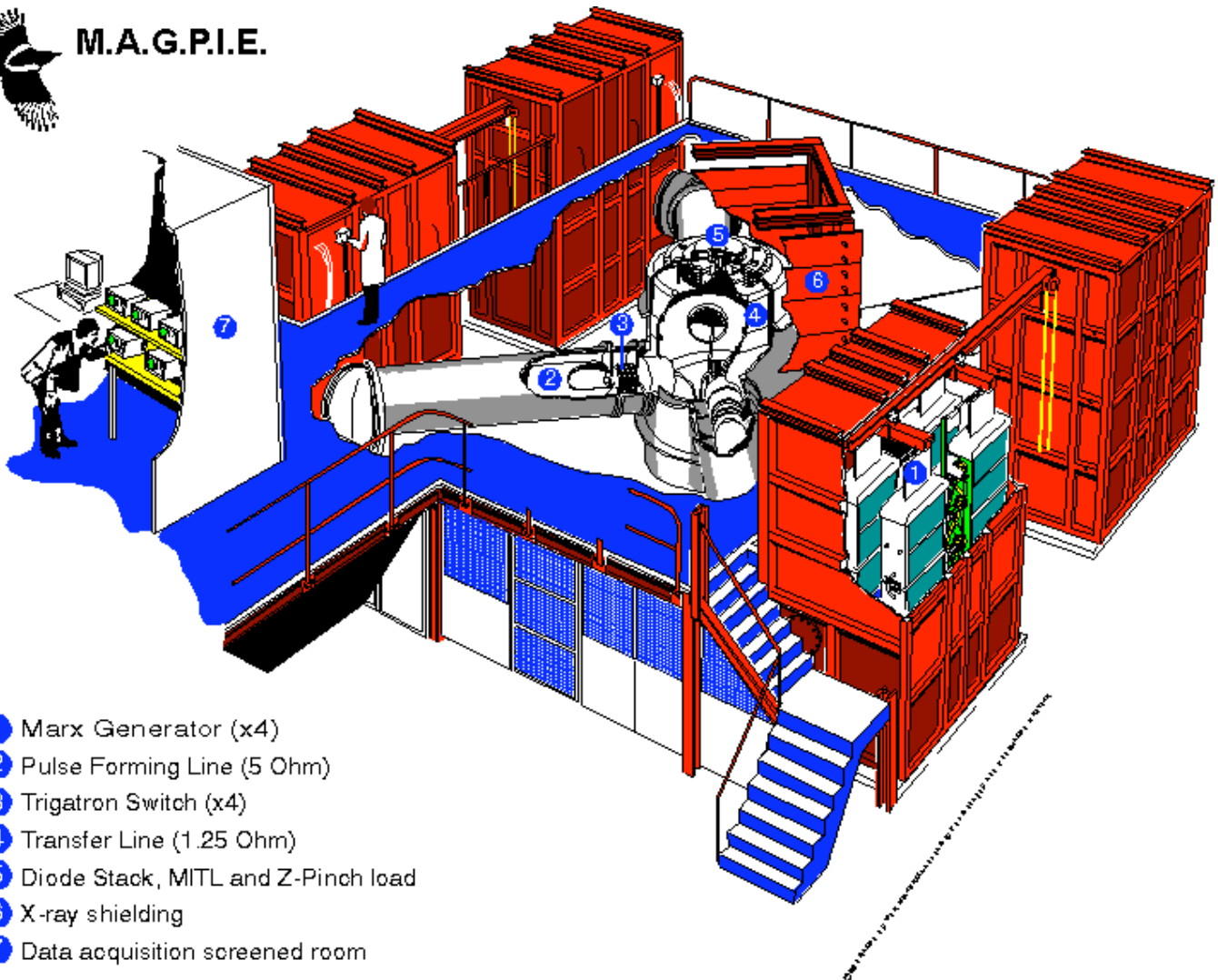
- Z-machine (Sandia National laboratories), New Mexico
- MAGPIE (Imperial College London, UK)
- Cornell University, New York
- CAE, Francie
- Pontificia Universidad Católica de Chile
- FEL, ČVUT, Praha



MAGPIE



M.A.G.P.I.E.



- ① Marx Generator (x4)
- ② Pulse Forming Line (5 Ohm)
- ③ Trigatron Switch (x4)
- ④ Transfer Line (1.25 Ohm)
- ⑤ Diode Stack, MITL and Z-Pinch load
- ⑥ X-ray shielding
- ⑦ Data acquisition screened room



“Wire array”

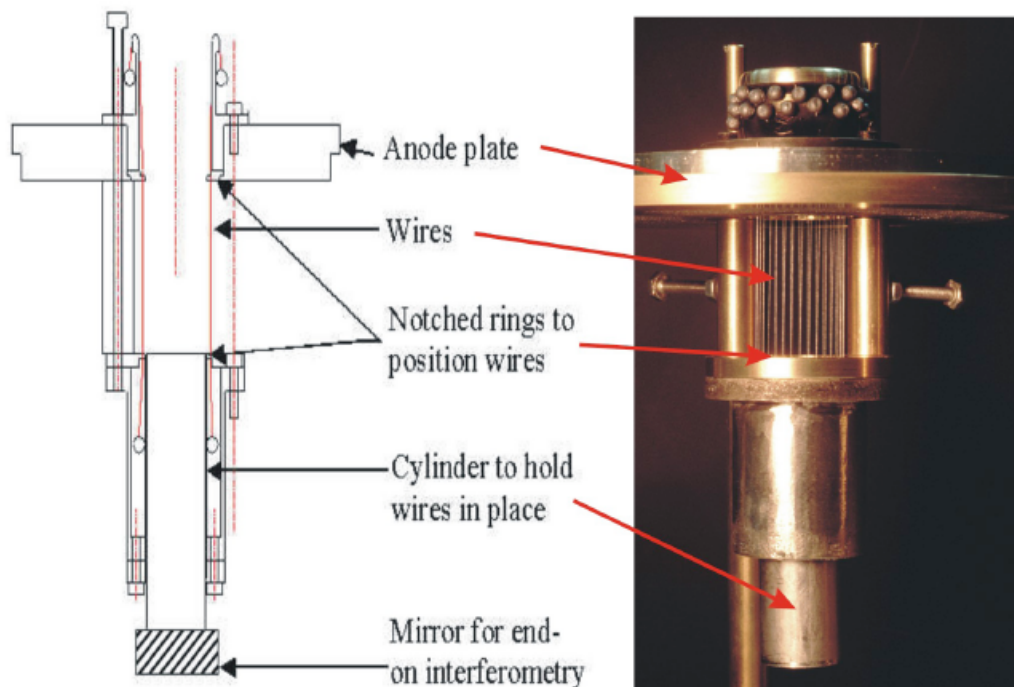
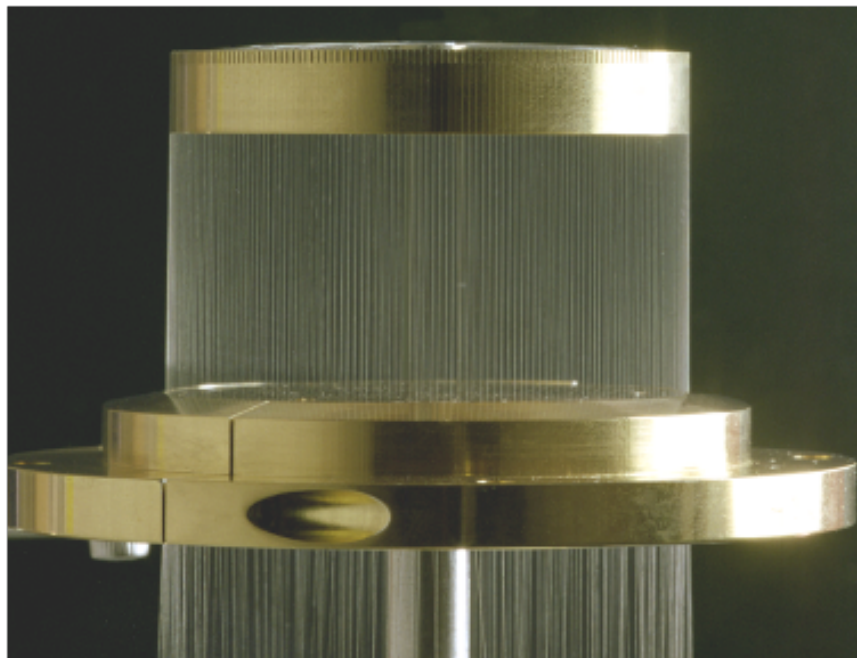


Figure 2: Typical wire array used at the MAGPIE Z-pinch project at Imperial College London. Photo from the MAGPIE Z-pinch project website [14].



Imploze Z-pinch

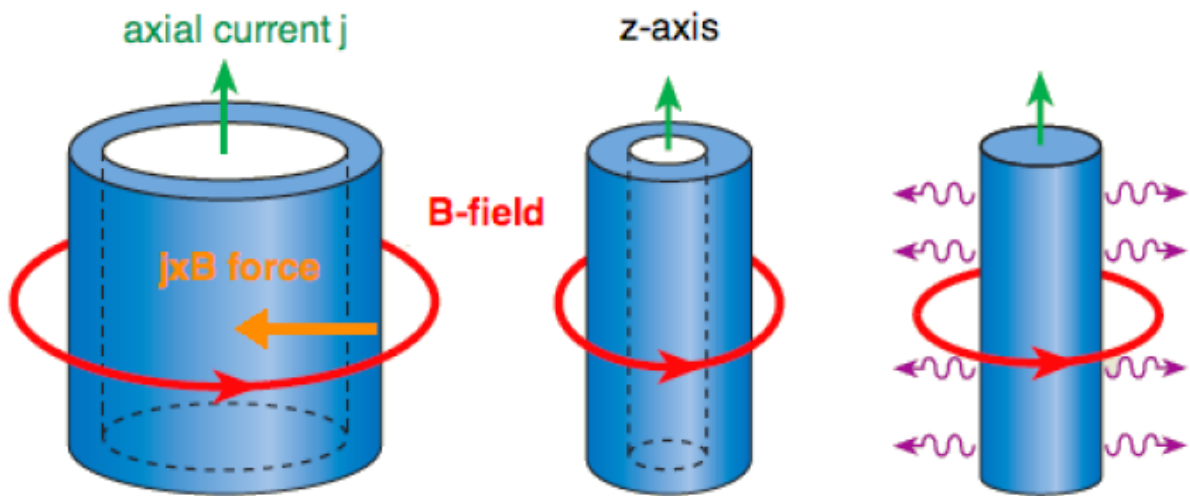
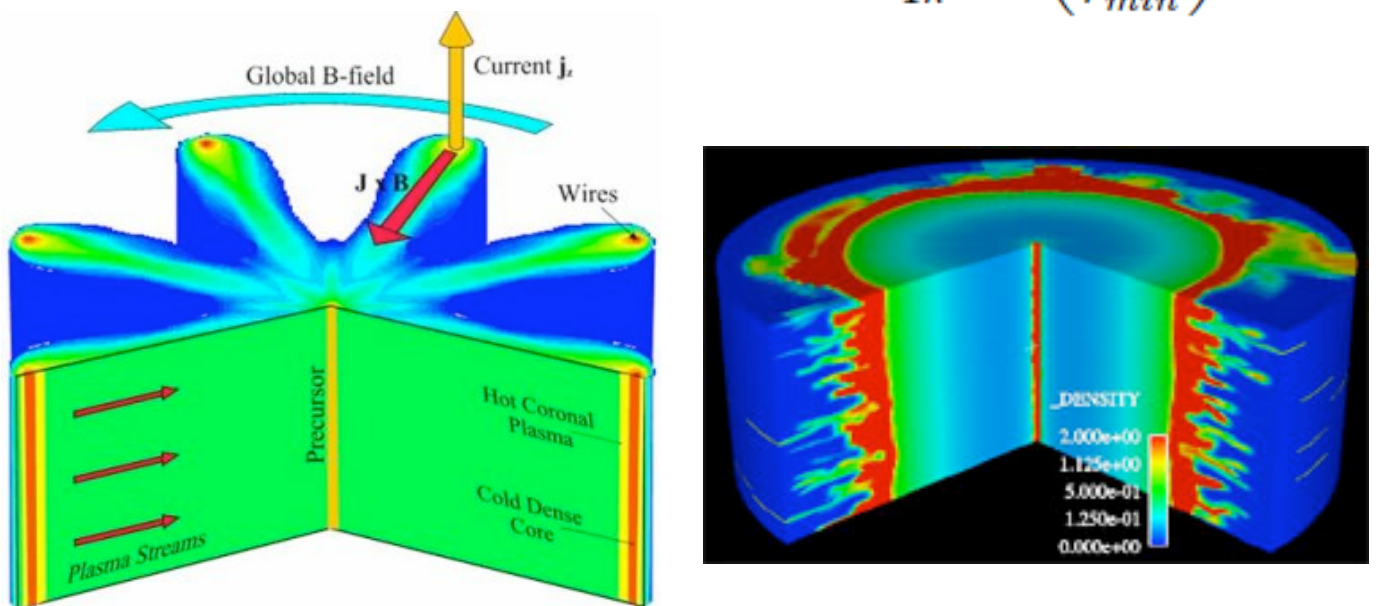
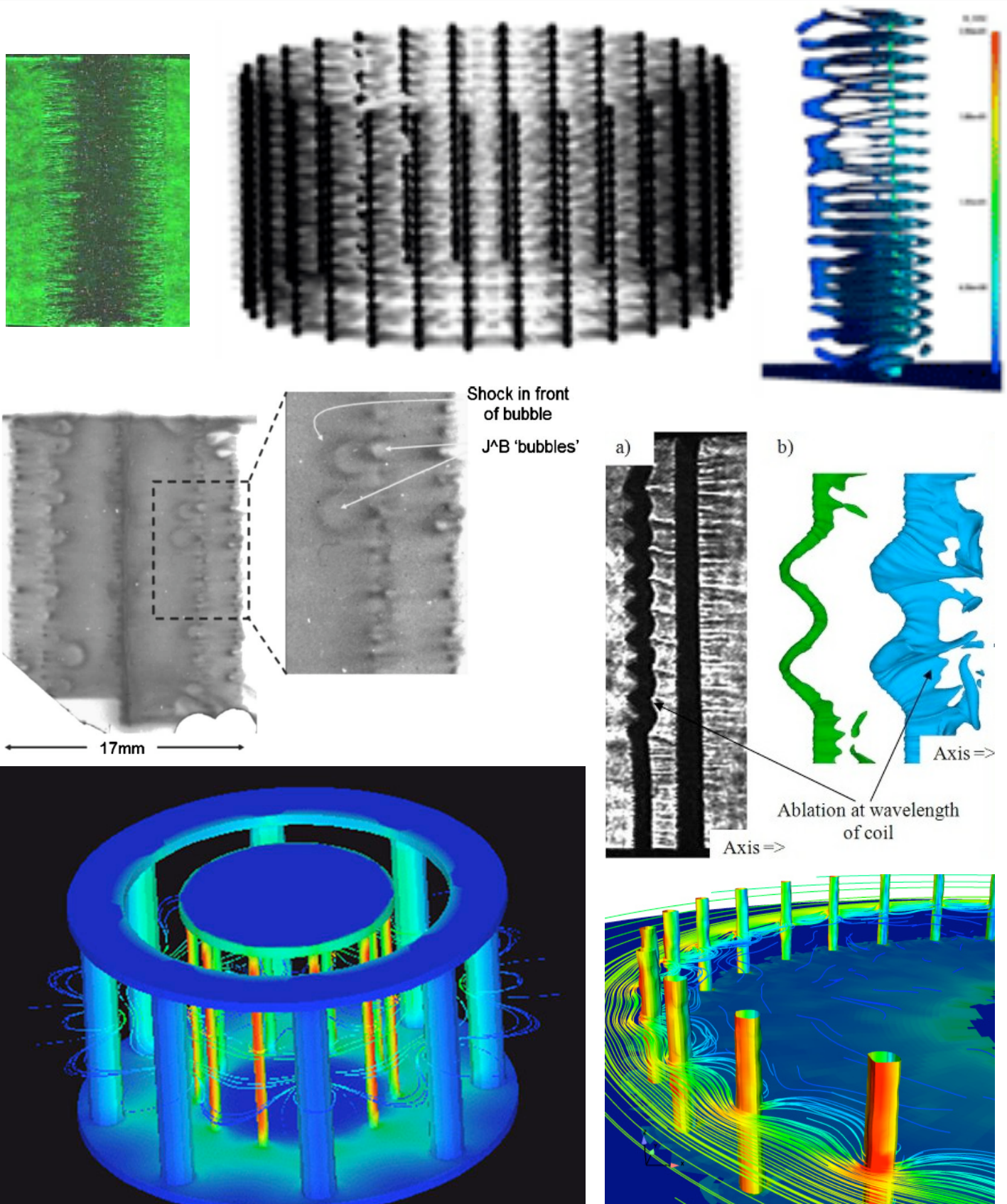


Figure 3: Schematic of a Z-pinch implosion of a cylindrical plasma shell due to axial current j . The radial collapse of the plasma shell is due to the inward $j \times B$ force and the kinetic energy of the plasma is released in form of an X-ray burst when it reaches the z-axis. [4]

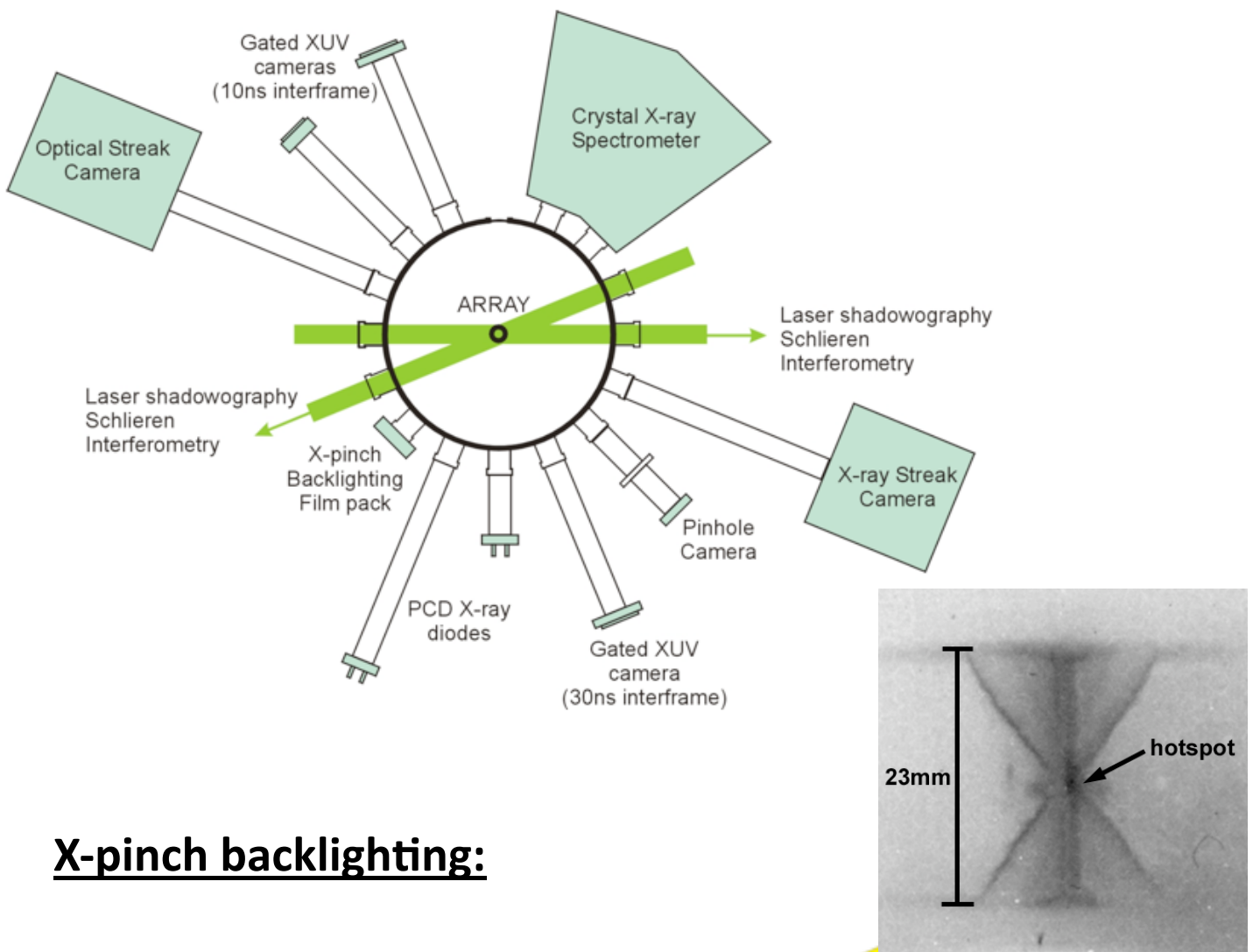
- Magneticka sila: $B_\theta = \frac{\mu_0 I}{2\pi r}$
- Energie imploze na osu: $KE \approx \frac{\mu_0 I^2}{4\pi} \ln \left(\frac{r_0}{r_{min}} \right)$



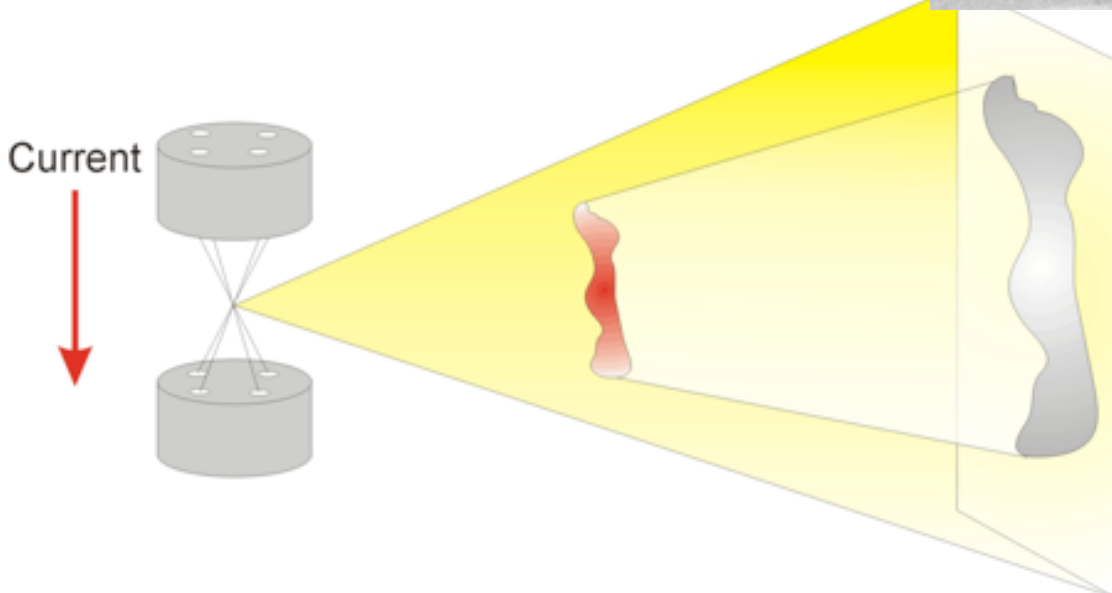
Imploze Z-pinch



Diagnosticke pristroje

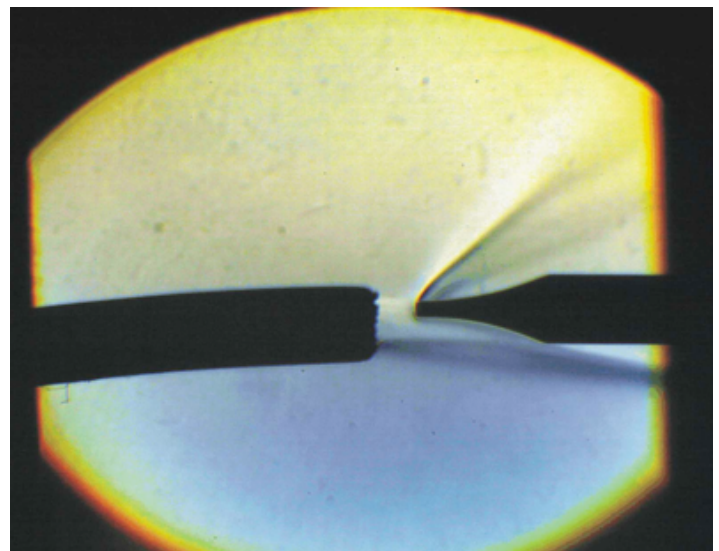
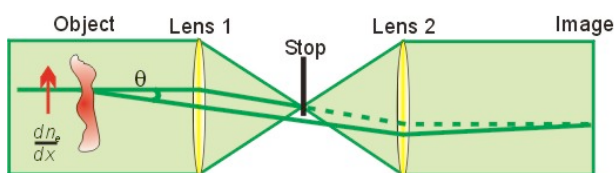


X-pinch backlighting:

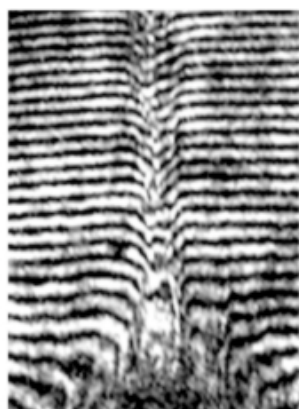
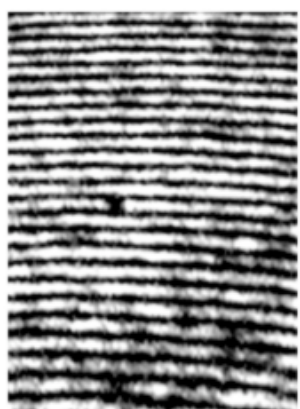
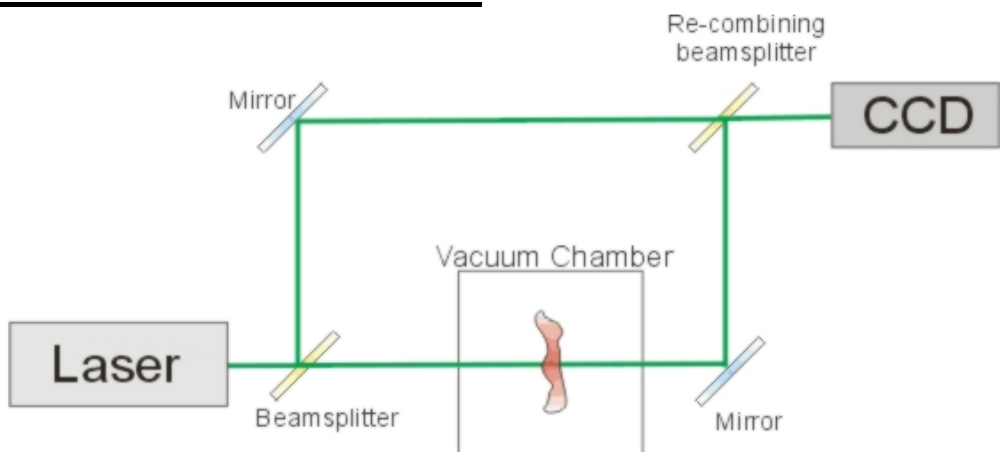


Diagnosticke pristroje

Laserove zobrazovani:



Laserova interferometrie:



Astrofyzikalni vytrisky na Z-pinchich

Scaling of laboratory jets

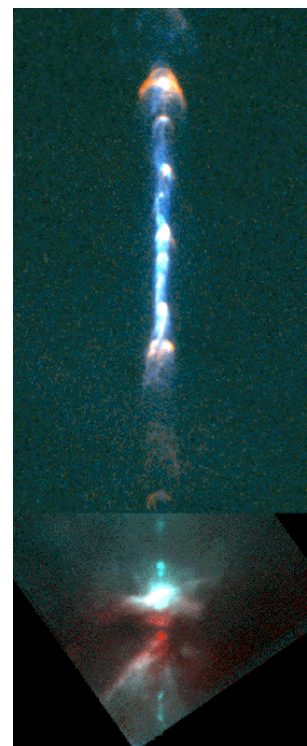
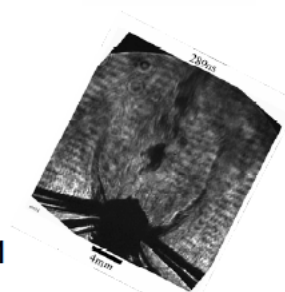
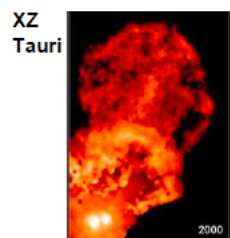
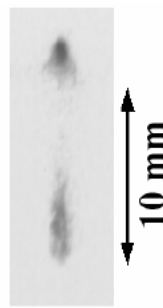
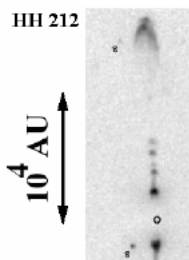


Motivation: to produce in laboratory experiments plasma jet with

Space

← **similar
“shape” &
dimensionless parameters:**

→ Experiment



Mach number

$$M \sim 10 - 50$$

Density contrast: jet / ambient

$$\eta \sim 1-10$$

Cooling parameter

$$\chi \equiv \frac{\tau_{cool}}{R_j/V} \sim 0.1-10$$

Magnetic fields:

$$\beta \sim 1$$

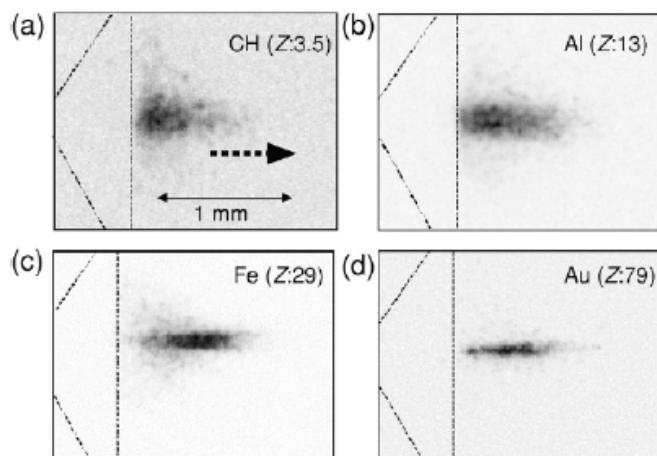
$$\lambda/R \ll 1, \quad Re \gg 1, \quad Re_M \gg 1, \quad Pe \gg 1$$

dev@imperial.ac.uk DZP 2008

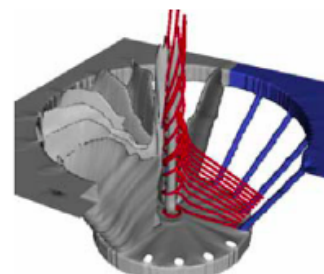
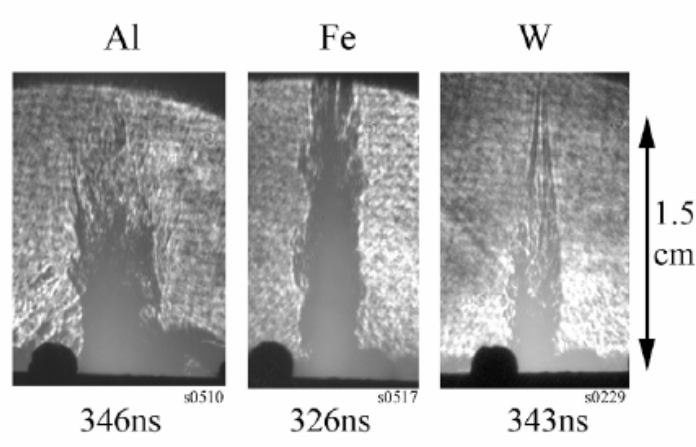
[1] D.D. Ryutov et al., *Astrophys. J.* 518, 821 (1999) and *Astrophys. J., Suppl.* 127, 465 (2000)

Radiatively cooled jets:

Gekko-12 laser (Shigemori et al., 2000)



Magpie Z-pinch (Lebedev et al., 2002)

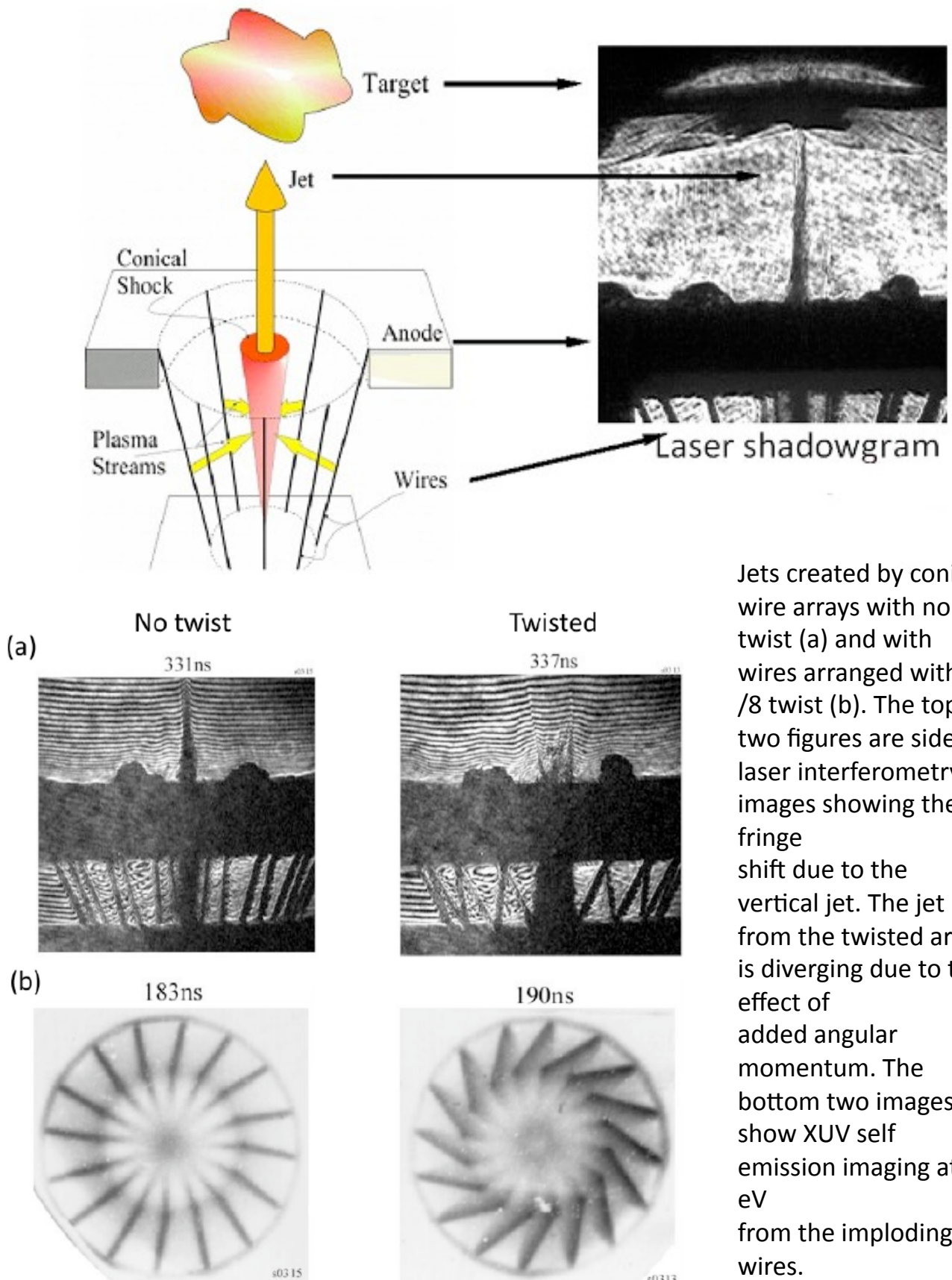


High Mach number (~20)

No dynamically significant magnetic field

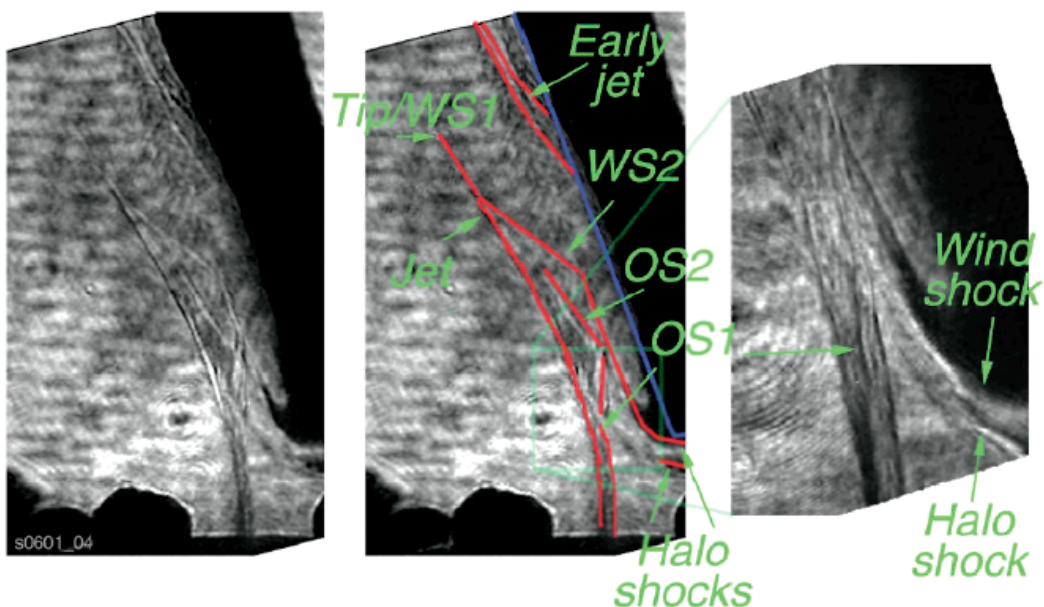
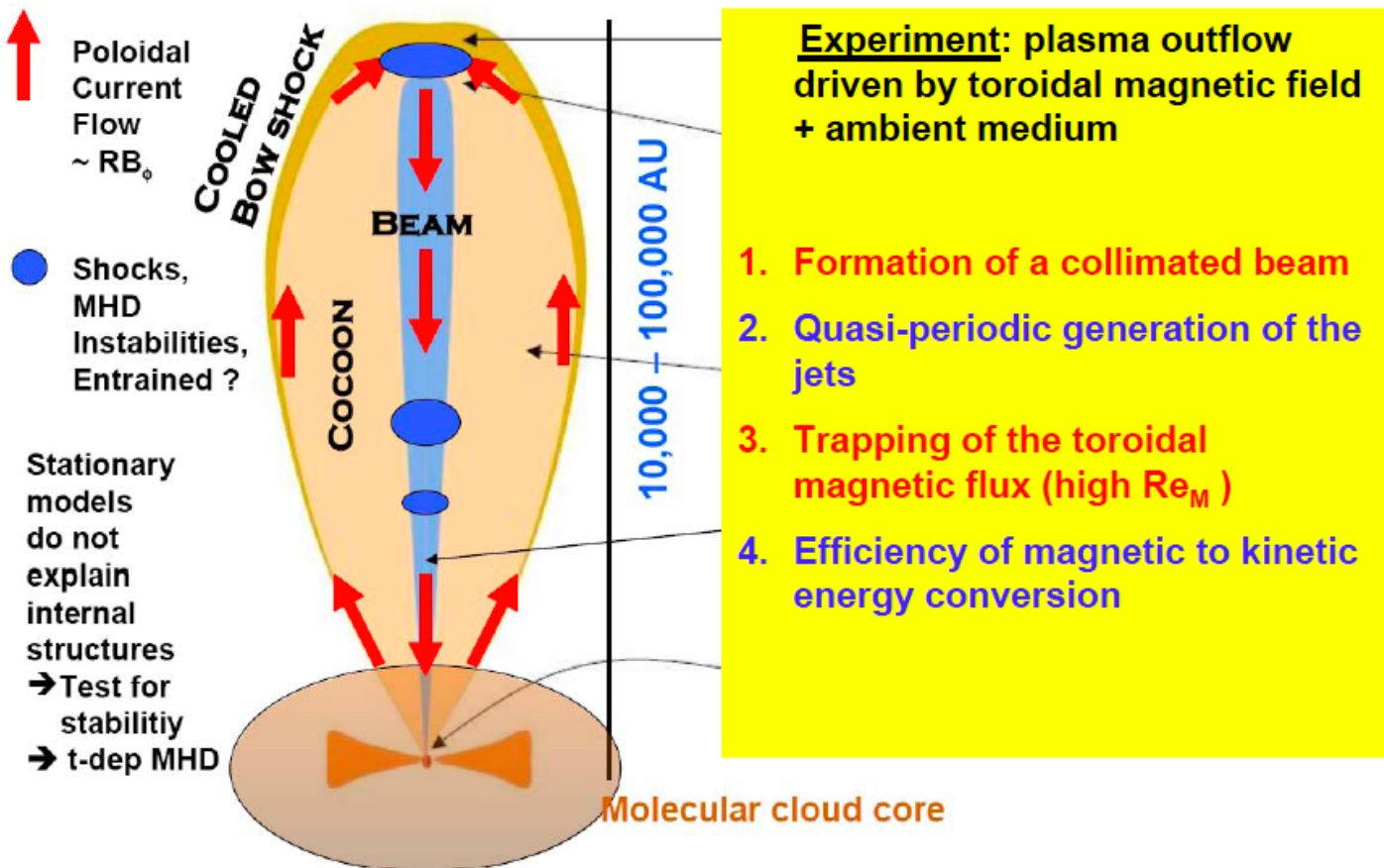
Interaction with
ambient plasma
Jets with angular
momentum
(Next talk)

Astrofyzikalni vytrisky na Z-pinchich



Astrofyzikalni vytrisky na Z-pinchich

Magnetized outflows (Camenzind, 2007)



Side one laser Schlieren images of a jet propagating in a transverse wind produced by ablating a CH foil.

Astrofyzikalni vytrisky na Z-pinchich

Producing jets in the lab

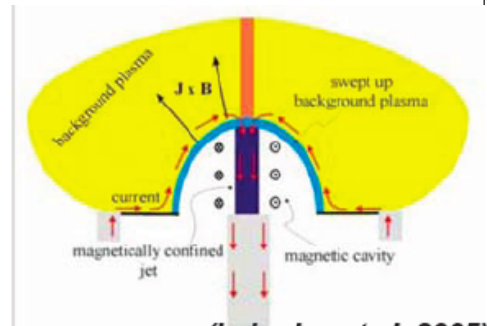
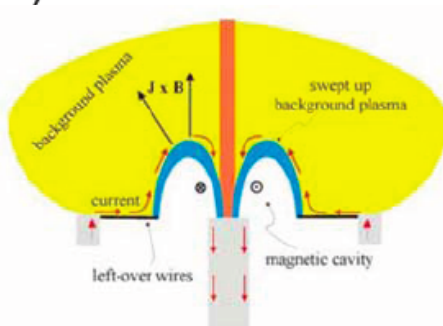
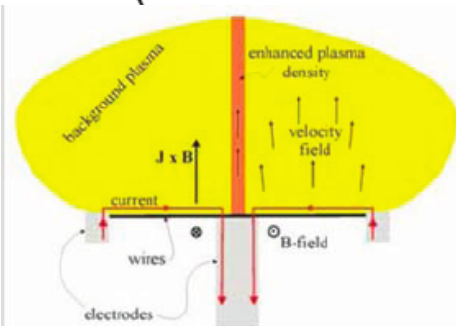
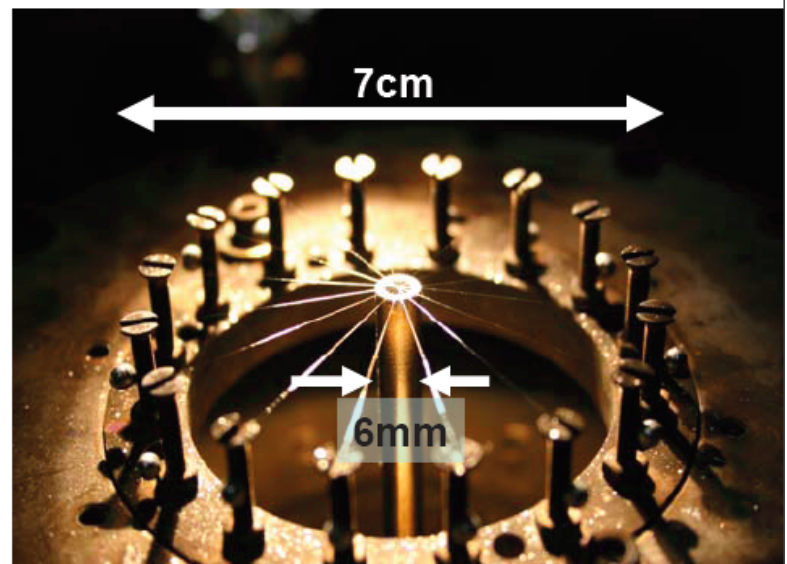


- **Magnetically driven jet**

- **Radial wire array**

- Jet driven by predominant toroidal magnetic field

- 16 metallic wires (W,Al) (5 - 50 μm diameter)
- Cylindrical central cathode (3 – 6mm diameter)



→ Current passes through the wires and the cathode

→ Global toroidal field from cathode ($B\phi \propto 1/r$)

→ $JxB\phi$ force ablates material from wires forming **background ambient**

→ Denser plasma on axis (“precursor” jet)

→ Stronger magnetic field near the cathode

$$dm/dt \propto J \times B \phi$$

→ **wire breakage**

→ New path of the current

→ Formation of **expanding shock** (“bubble”, magnetic cavity)

→ Toroidal field compresses and collimates **jet on axis**

→ **X-ray bursts (pinch)**

→ Current driven MHD instabilities disrupt the jet

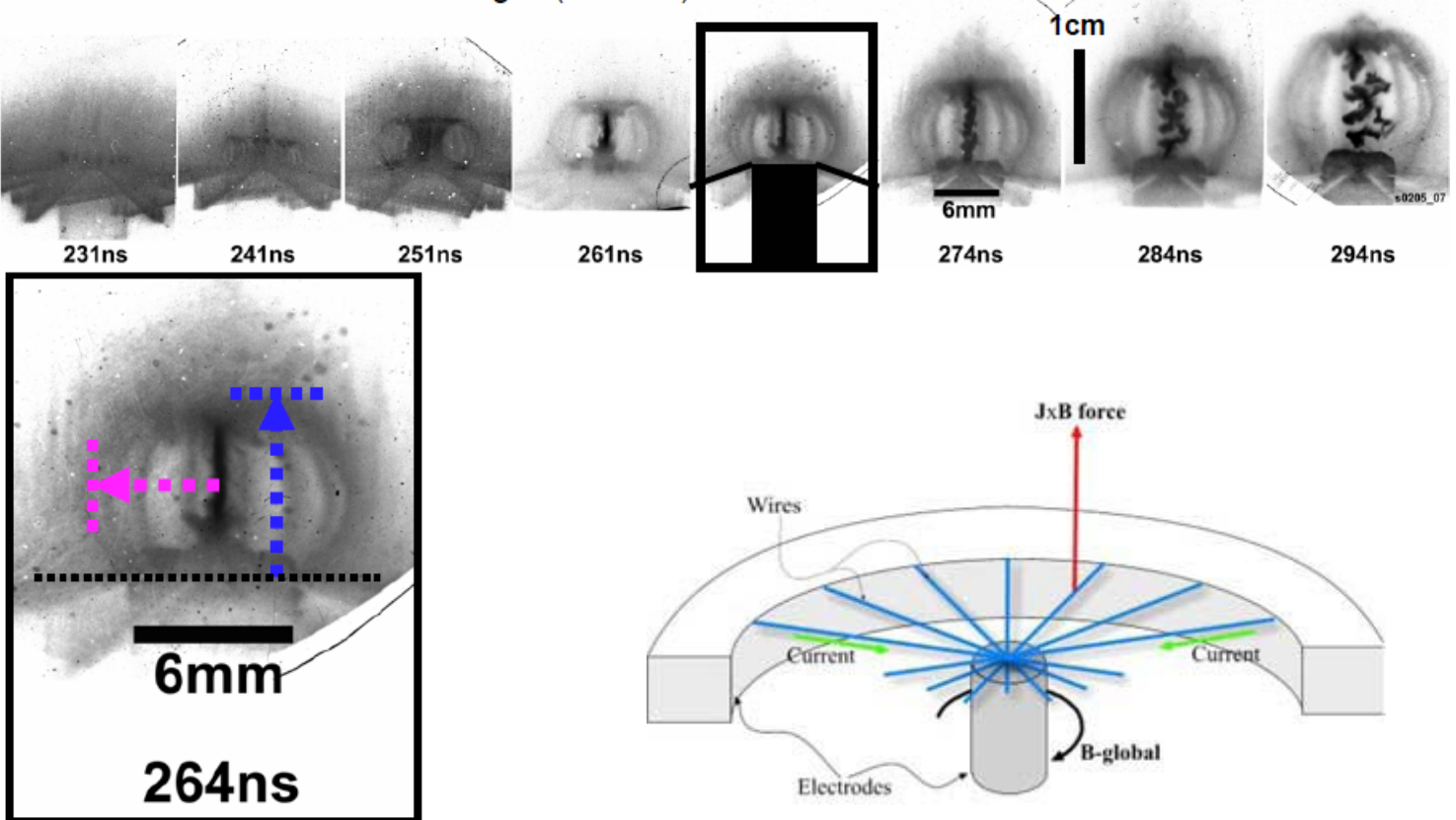
→ Opening of bubble and detachment of column

Astrofyzikalni vytrisky na Z-pinchich

Radial wire array: Results

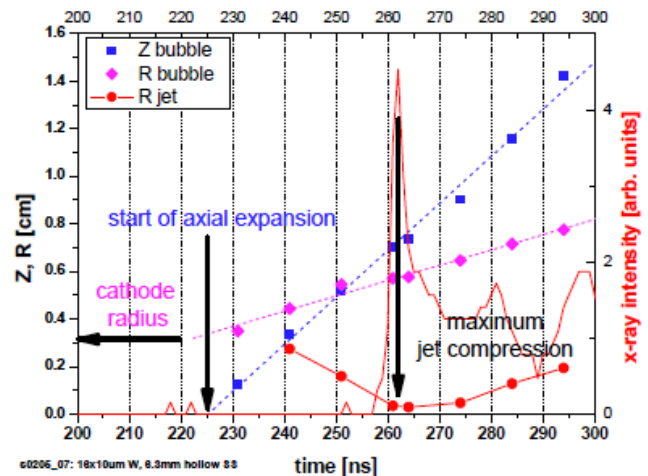


Time resolved XUV emission images ($E > 10\text{ eV}$)



4th JETSET School - Ponto Delgada, June 2007

- Measured bubble expansion velocities:
 - Axial: $V_z = 198 \text{ km/s}$
 - Radial: $V_R = 64 \text{ km/s}$
- X-ray emission provides timing of “events” in the jet which can be changed by varying cathode and wire diameter



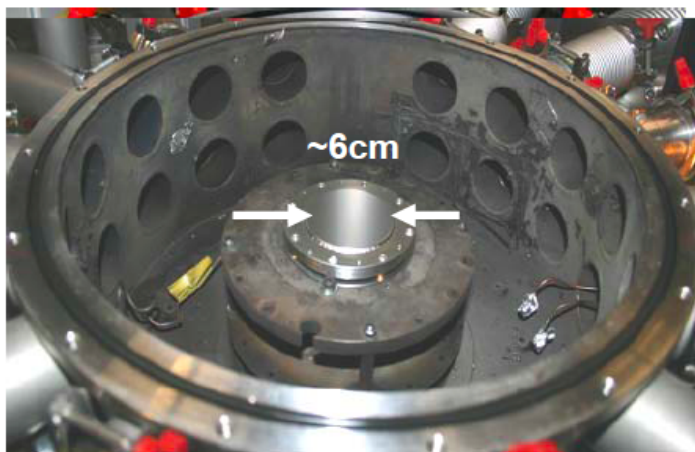
4th JETSET School - Ponto Delgada, June 2007

Astrofyzikalni vytrisky na Z-pinchich

Radial foil

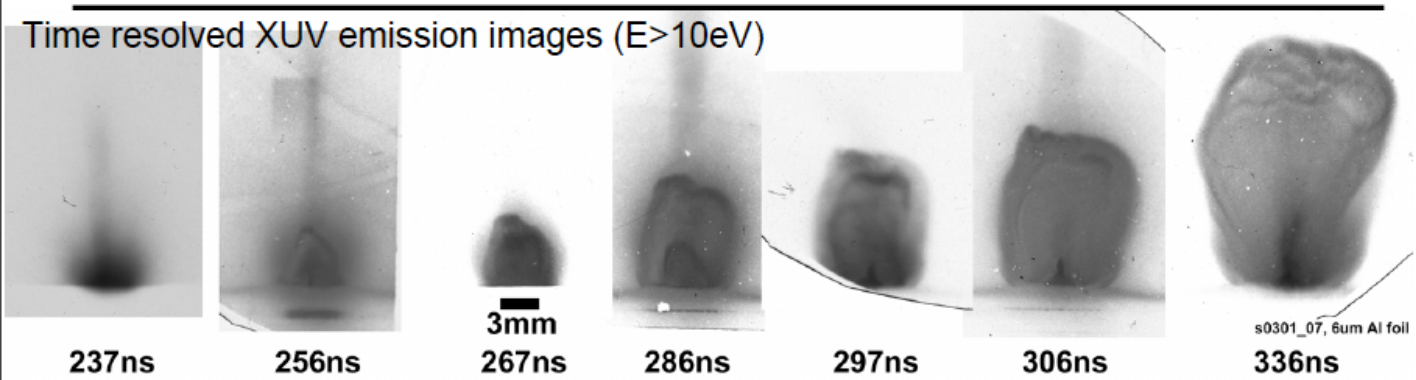


- **Magnetically driven jet using foils**
 - Replacing wires by a **metallic foil** ($6\mu\text{m}$ Aluminium)

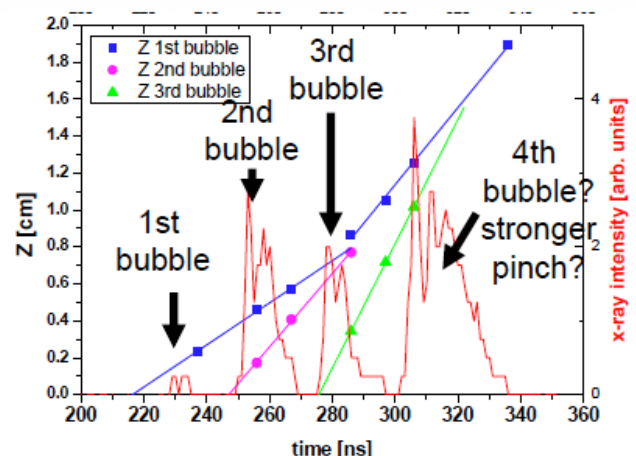


- Easier to build ☺
- Allows to use smaller size cathode
 - B_ϕ is **stronger** at smaller radius
- Mass distribution is different from radial wires
 - Expect different breakage conditions

Time resolved XUV emission images ($E>10\text{eV}$)

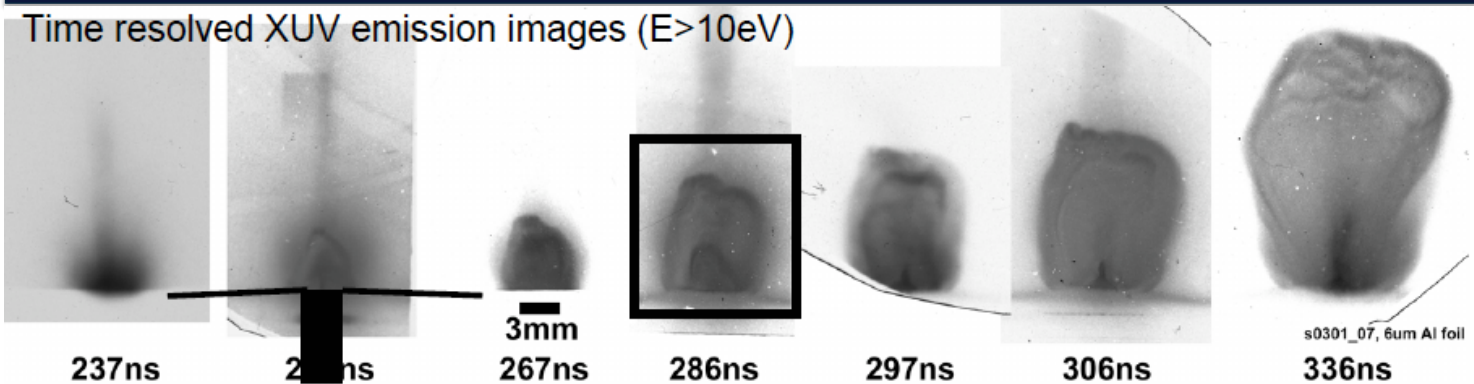


- Formation of “periodic” bubbles with increasing expansion velocities
- Correlated with **x-ray emission**
- Possible **smaller jet** forming on axis for each new bubble

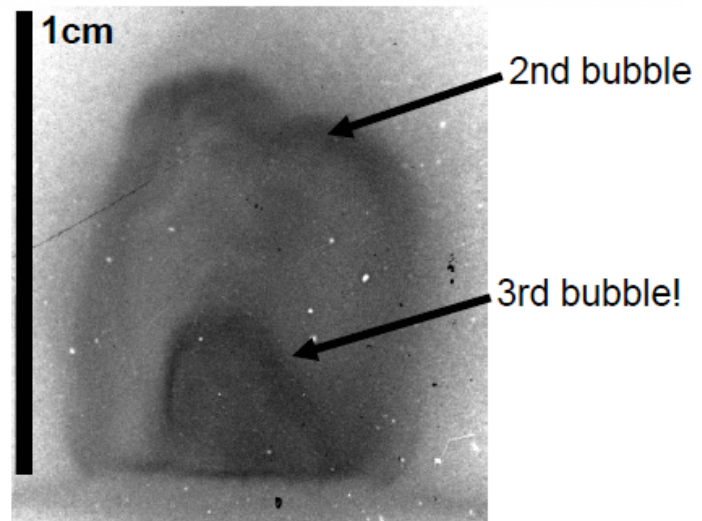


Astrofyzikalni vytrisky na Z-pinchich

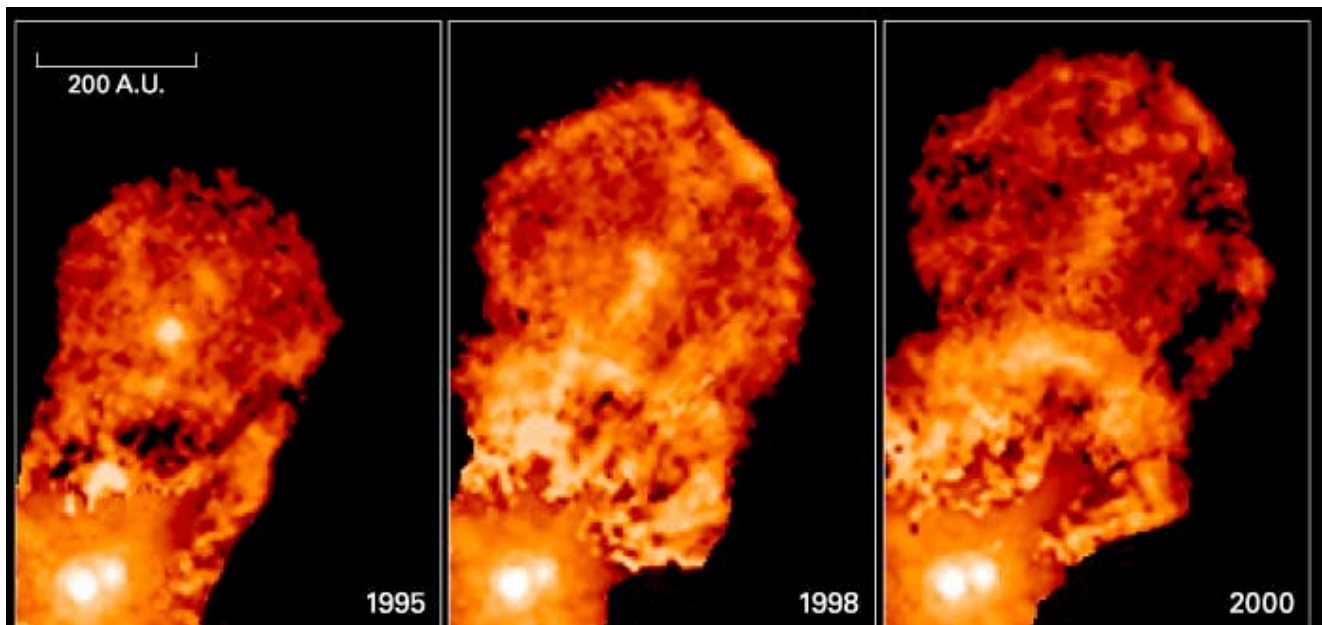
Time resolved XUV emission images ($E > 10\text{ eV}$)



- Formation of “periodic” bubbles



4th JETSET School - Ponto Delgada, June 2007

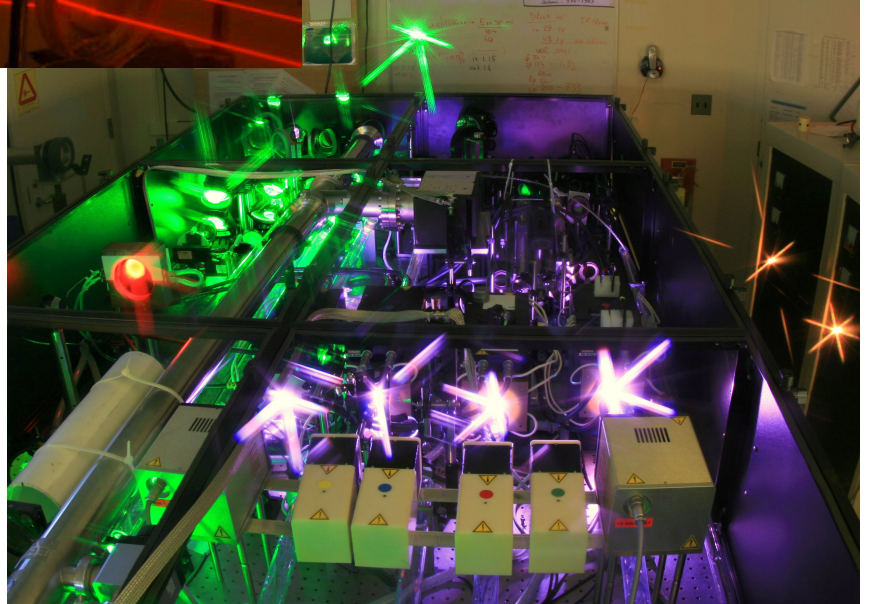
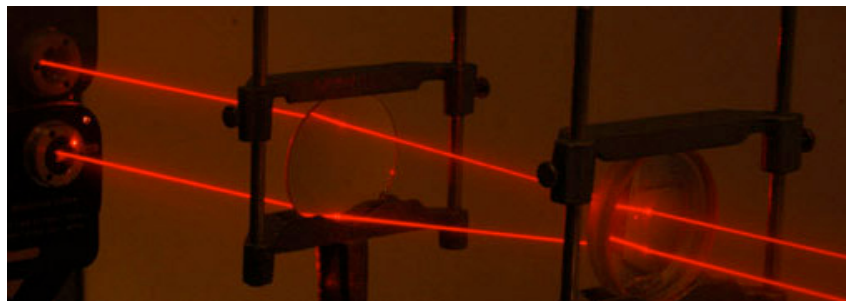
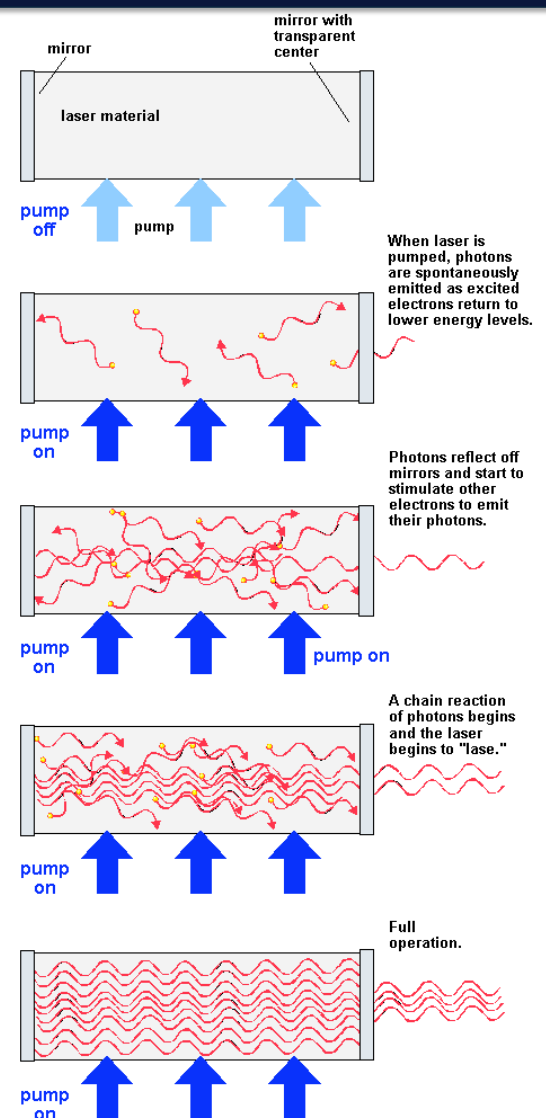
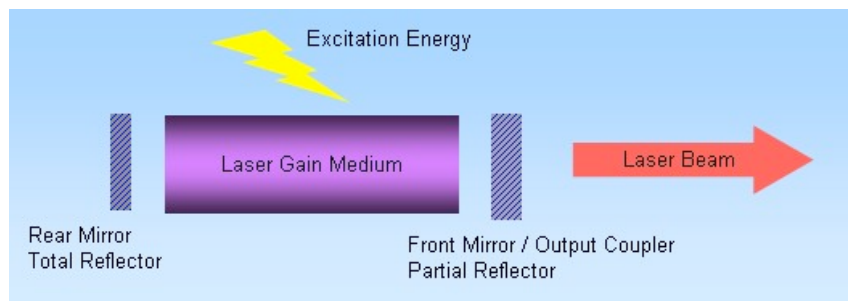


Hot Gas Bubble Ejected by Binary Star XZ Tauri
Hubble Space Telescope • WFPC2

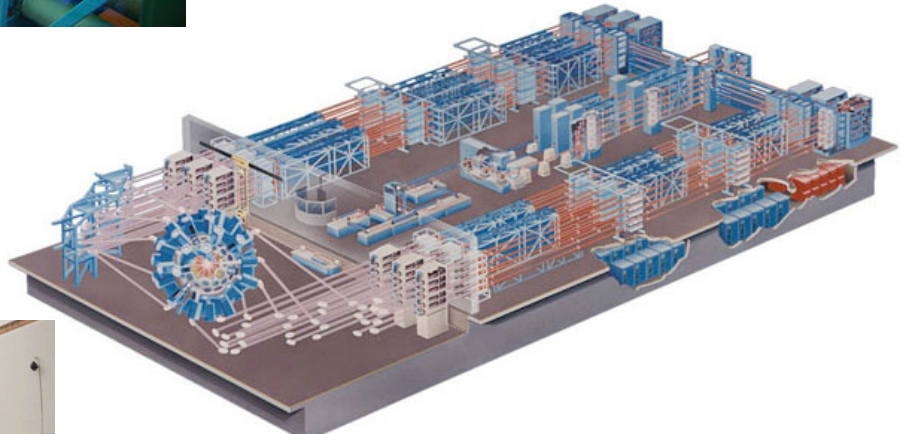
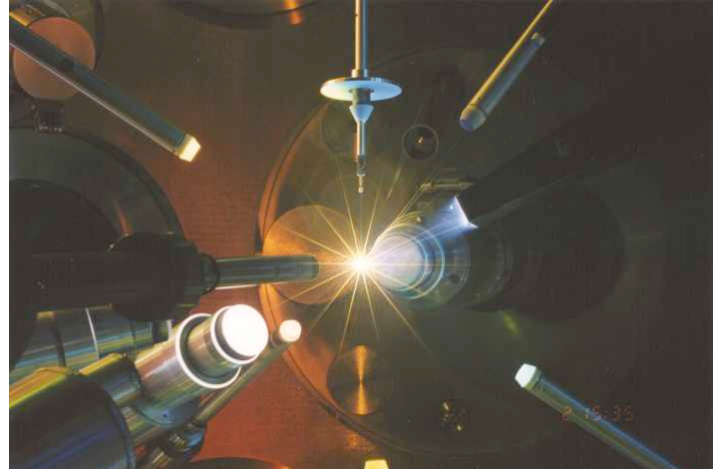
NASA and J. Krist (STScI) • STScI-PRC00-32

Laserove laboratore

- koherentní (podelne i napric)
- monohromaticke (kvazi-monochromaticke)
- muze mit velmi presnou/ kontrolovatelnou polarizaci (pokud zrcadlovy rezonator ma v sobe polarizacni prvek)
- velmi zamereny paprsek s nizkou divergenci
- muze mit vysokou svetelnou intenzitu



Laserove laboratore

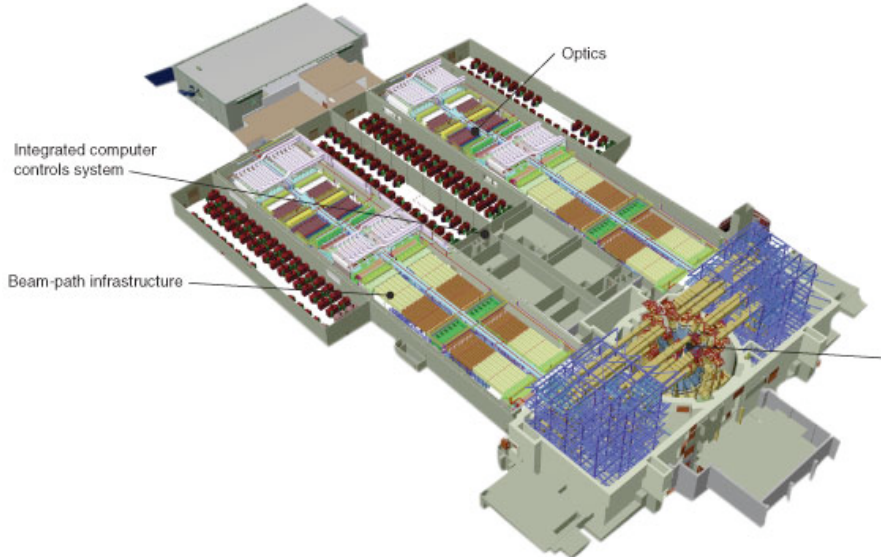
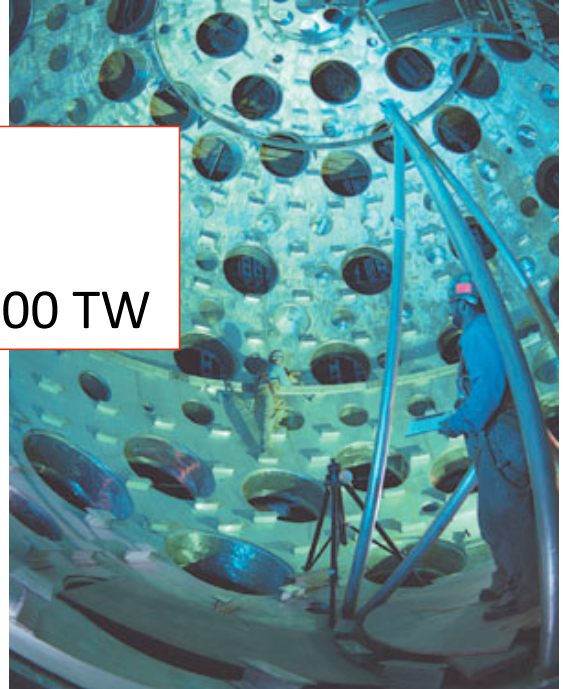


60 paprsku s max. energii
40 000 J, nanosekundove
pulsy & Omega EP – ps
laser - druhý největší laser
na světě!

Laserove laboratore

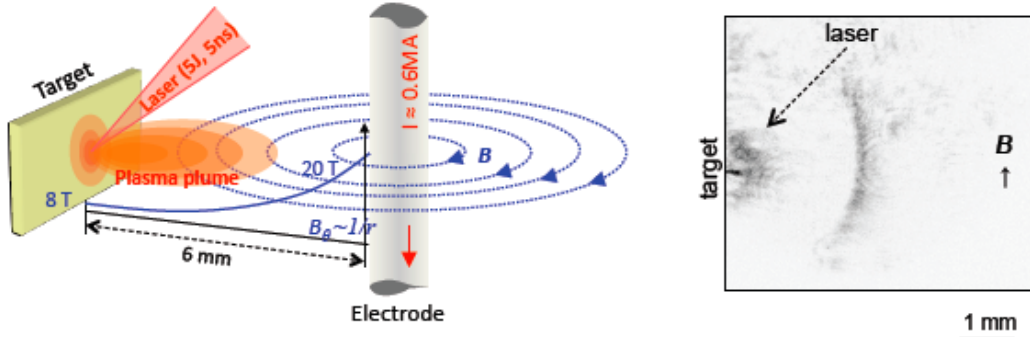


NIF @ LLNL
192 paprsku
celkovy vykon ~ 500 TW



Meziplanetarni soky

Collisionless shock experiment at the Nevada Terawatt Facility



Plasma shell parameters:

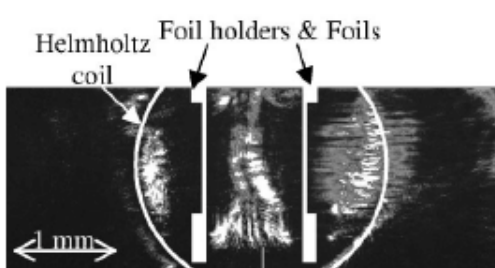
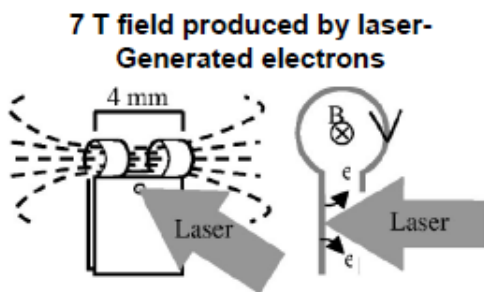
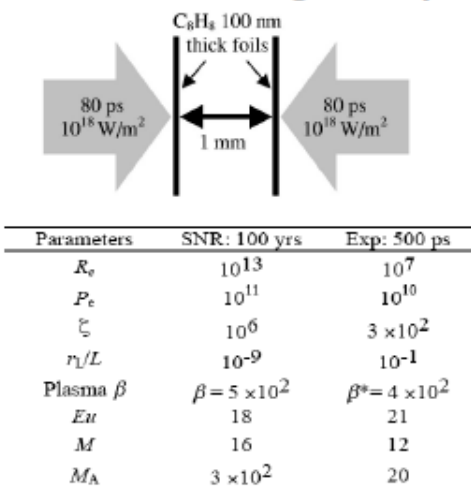
velocity: $v_0 \approx 2 \times 10^7 \text{ cm/s}$
 density: $n_e \approx 7 \times 10^{17} \text{ cm}^{-3}$
 field strength: $B \approx 8 - 10 \text{ T}$
 temperature: $T_e \leq 200 \text{ eV}, T_i \leq 100 \text{ eV}$
 length scale: $L_n \approx 0.2 - 0.3 \text{ mm}$

Plasma regime:

resistive diffusion: $R_M > 30$
 Hall term: $(c/\omega_{pi}) \geq L_n$
 ion magnetization: $2\pi/\Omega_i \geq t_{exp}$

R. Presura et al., *Astrophys. Space Sci.* **298**, 299 (2005)
 W. Horton et al., *Phys. Plasmas* **11**, 1645 (2004)

Vulcan: Colliding laser-produced plasmas in magnetic field

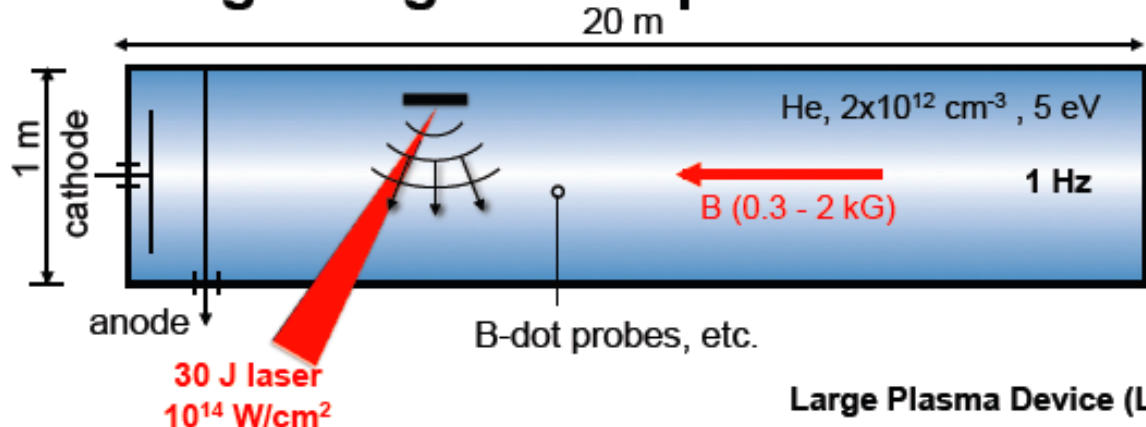


- observed features smaller than λ_{ii}
- no evidence of collisionless shock
- plasma not enough magnetized

N. Woolsey et al., *Phys. Plasmas* **8**, 2439 (2001)

Meziplanetarni soky

UCLA: Exploding laser-produced plasma in a large magnetized plasma



Perpendicular shocks:

$$V_s = 500 \text{ km/s} (M_A \approx 2.5)$$

$$\text{Size } D = 50 \text{ cm}$$

$$\text{Shock transit time: } \tau \approx 1 \mu\text{s}$$

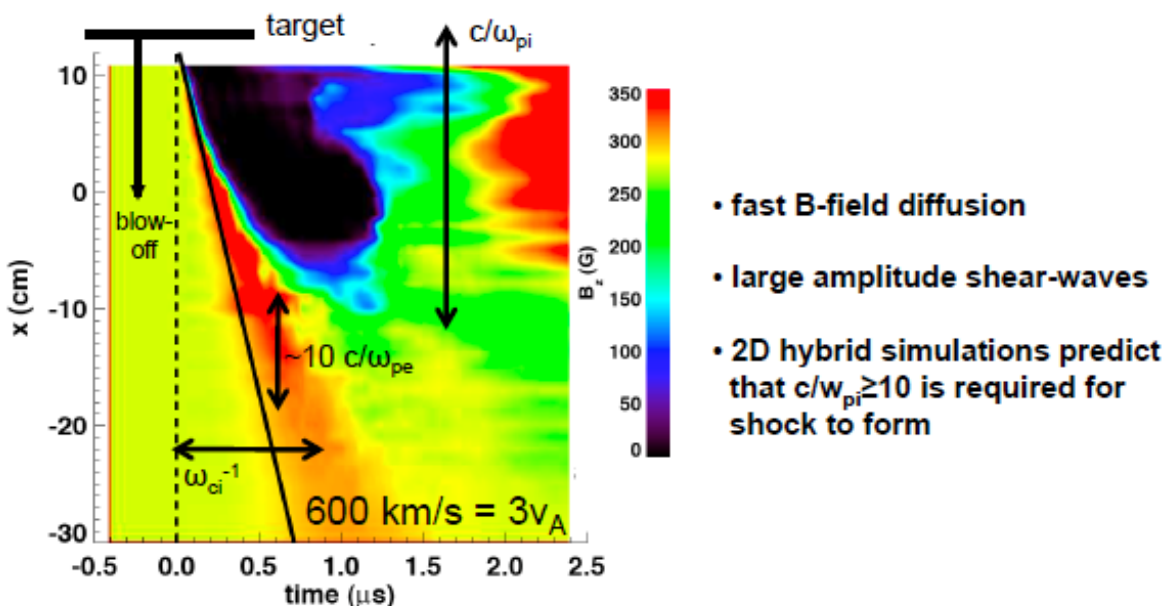
$$D/(c/w_{pi}) \approx 1, \tau w_{ci} \approx 1, \lambda_{ii}/D > 500$$

C. Constantin et al., *Astrophys. Space Sci.* 322, 155 (2009)

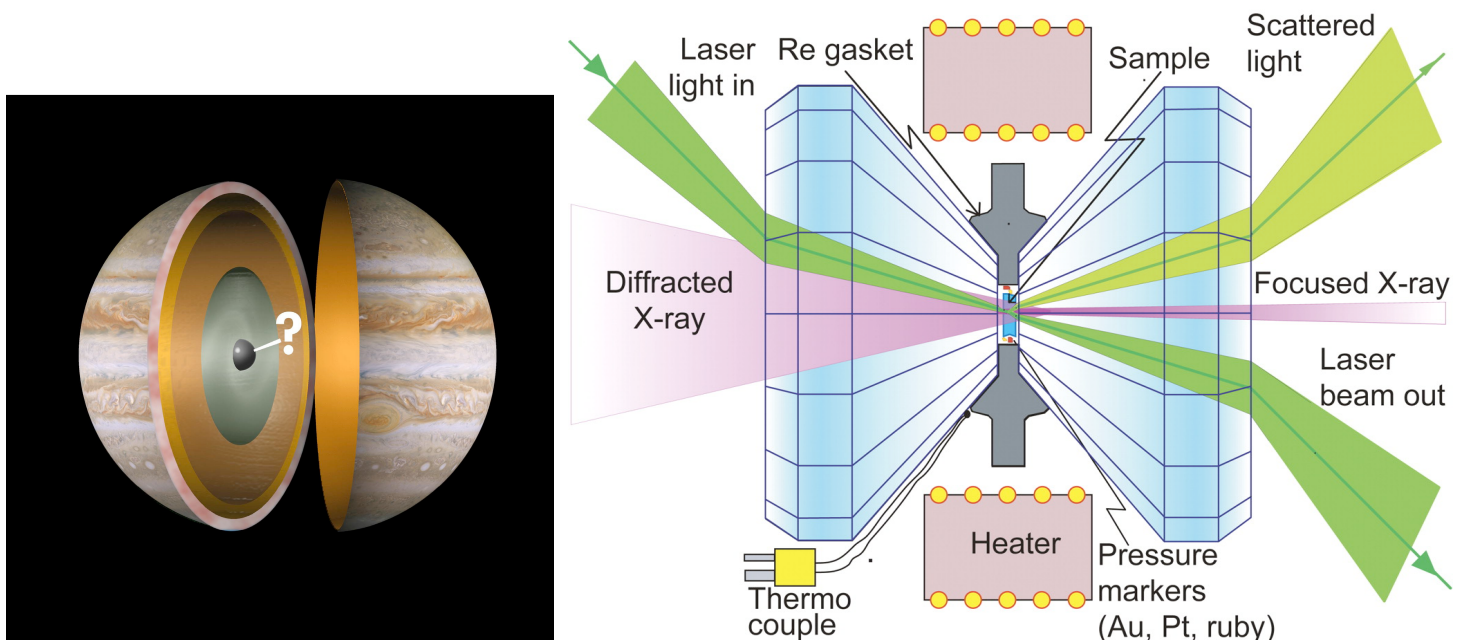
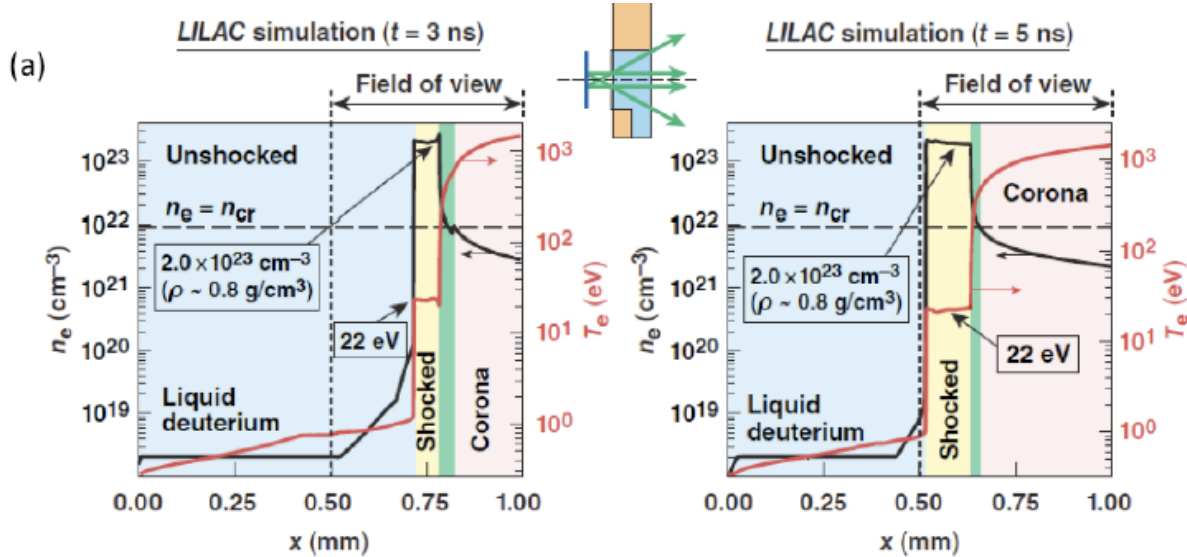
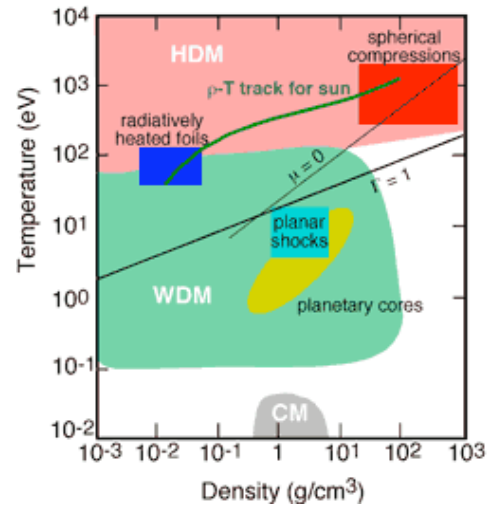
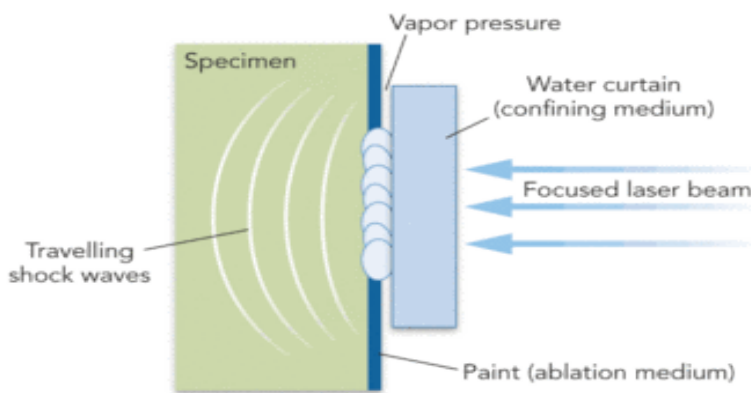


W. Gekelman et al.

Measurements show super-Alfvénic pulse ($M_A=2-3$) propagating away from piston



Nitra velkých planet



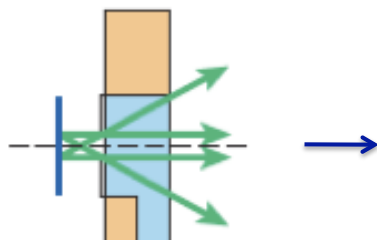
Nitra velkých planet



Omega Experiment



Planar cryogenic target



X-ray probe: Cl Ly- α @ 2.96 keV:

Non-collective 90° X-ray scattering geometry:

Cu cryo cell

Pinhole aperture

Saran foil (Cl Ly- α)
(polyimide window)

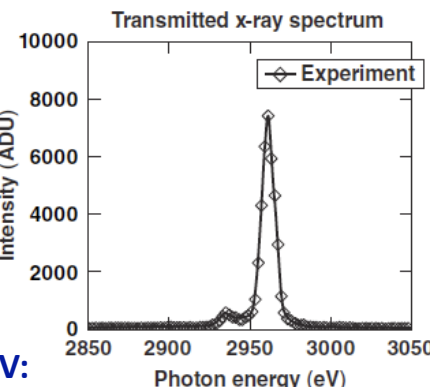
1 ns backscatter
with 10^{16} W/cm 2
(16 Omega beams)

x (mm)
0 1

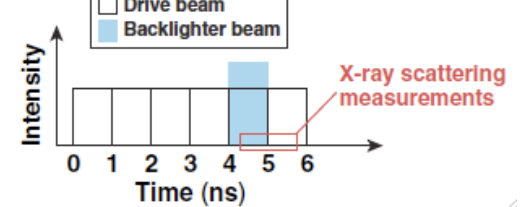
6 ns drive pulse
with 10^{14} W/cm 2
(12 Omega beams)

Liquid deuterium

8 μ m CH ablator "piston"
(polyimide window)



Field of view
HOPG/XRFC



VISAR set up"

x (mm)
0 1

Stacked 6 ns drive
with 10^{13} W/cm 2
(12 Omega beams)

Cu cryo cell

IM1 anti-reflecting IB1 50% reflecting

To streak camera

Etalon IM2

50% reflecting

Image plane

anti-reflecting

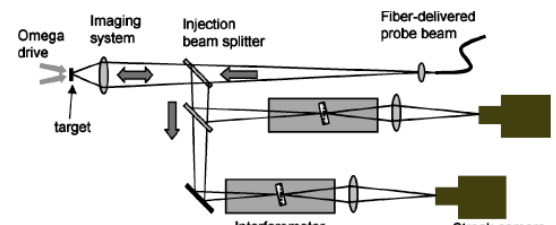
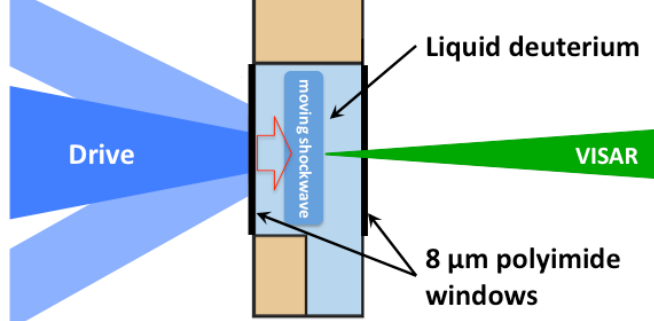
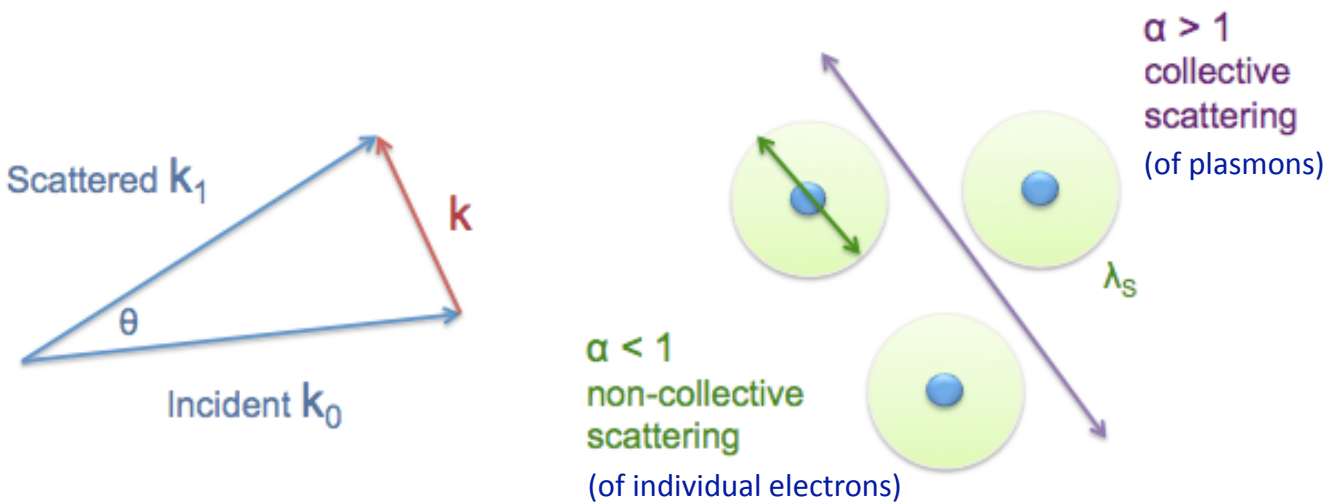


FIG. 1. Conceptual layout of the OMEGA line-imaging shock breakout diagnostic. An image of the target is relayed to the streak cameras through a pair of velocity interferometers.

Thomsonuv rozptyl

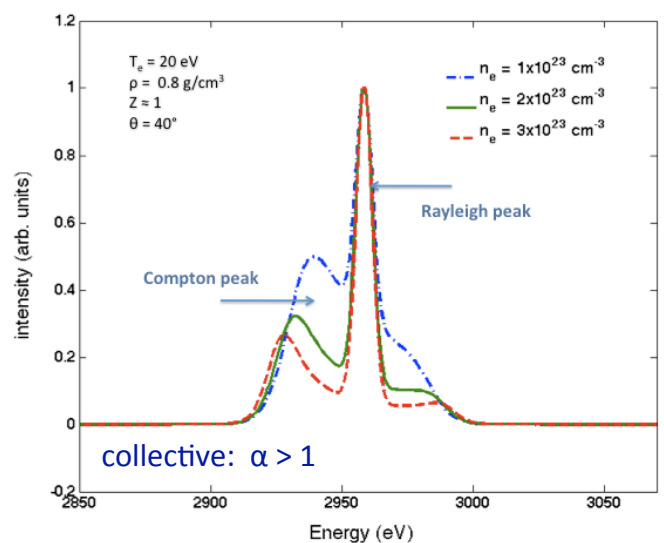
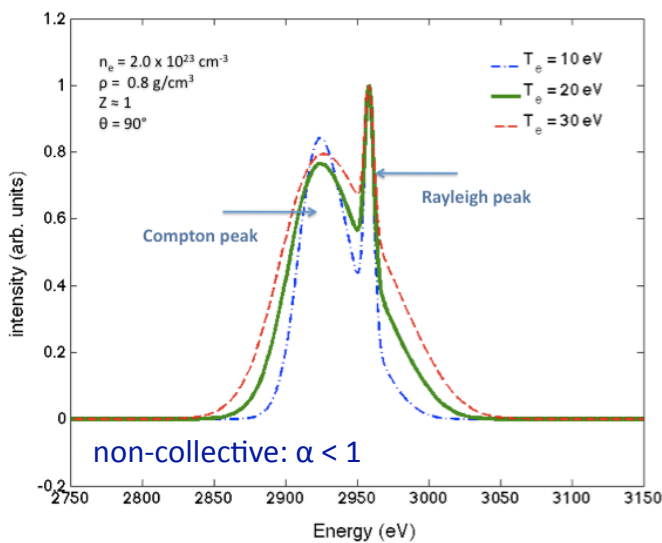


Scattering vector: $k = (4\pi/\lambda_0) \sin(\theta/2)$

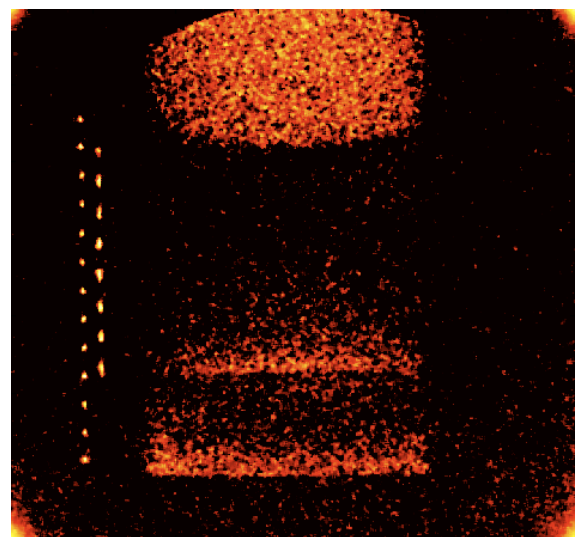
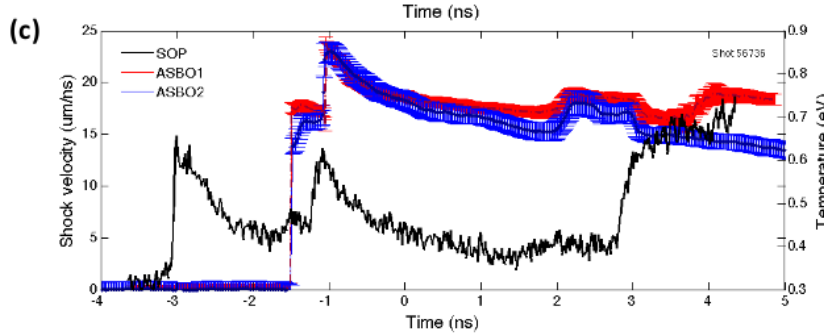
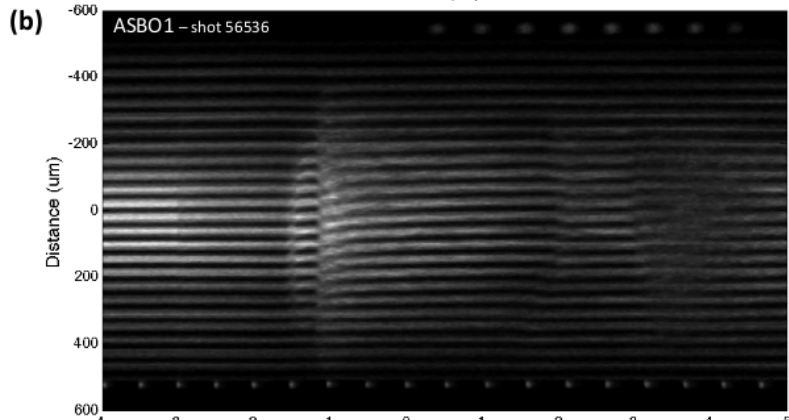
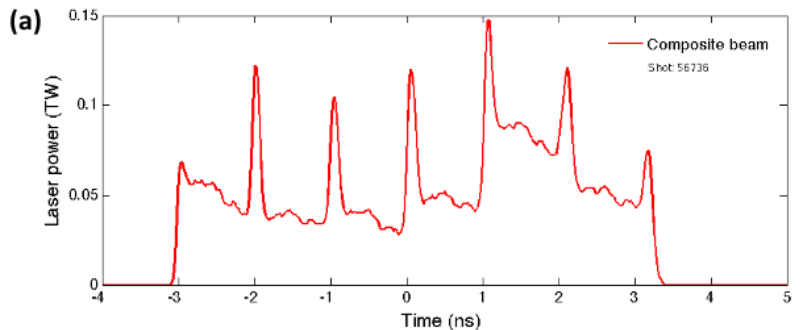
Dynamic structure factor: $S_{ee}^{tot}(k, \omega) = |f_I(k) + g(k)|^2 S_{ii}(k, \omega) + ZS_{ee}^0(k, \omega)$

Plasma screening length: $\lambda_S \sim \lambda_{TF} = \sqrt{\frac{2\epsilon_0 E_F}{3n_e e^2}}$ (Thomas-Fermi scale length)

Scattering parameter: $\alpha = 1/k\lambda_S$

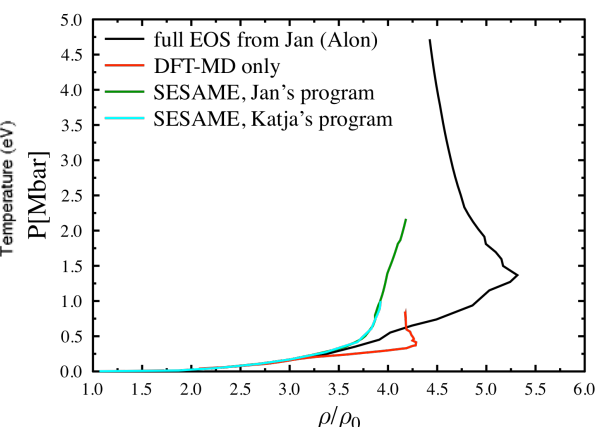


Diagnosticke pristroje – VISAR, SOP



VISAR = Velocity Interferometry of Any Reflector

SOP = Streakwd Optical Pyrometry



ρ	0.65 g/cc
P	0.45 Mbar
T	0.45 eV

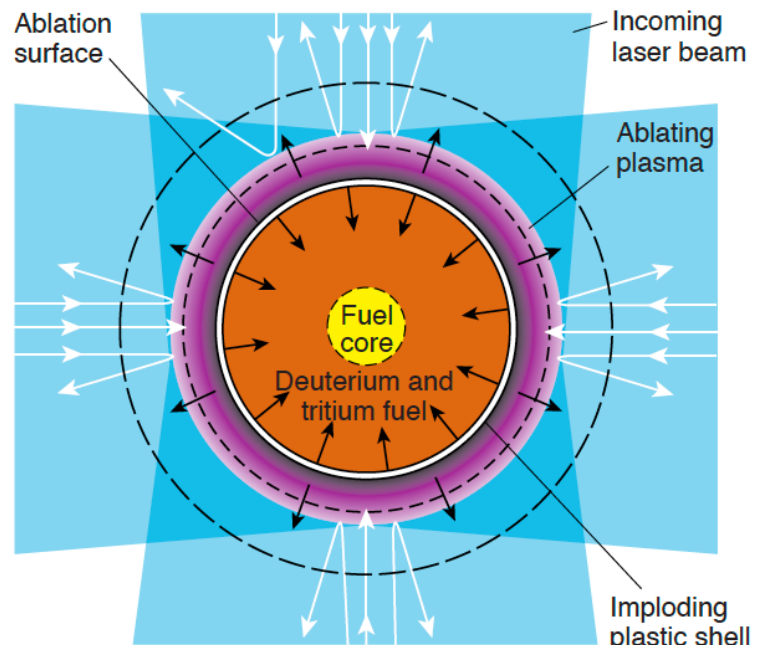
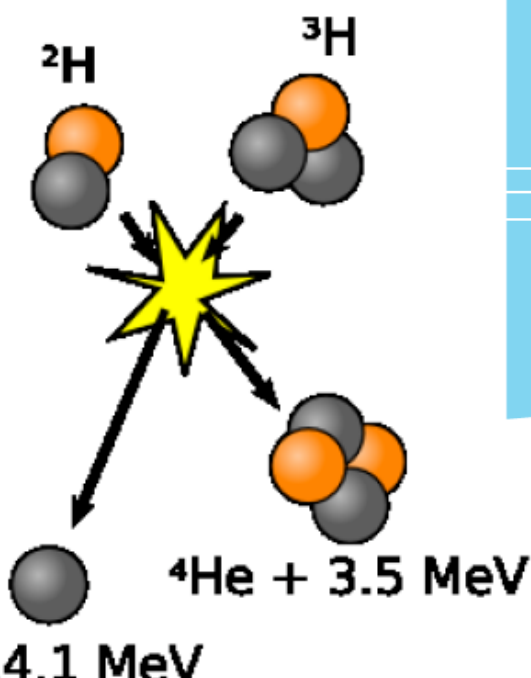
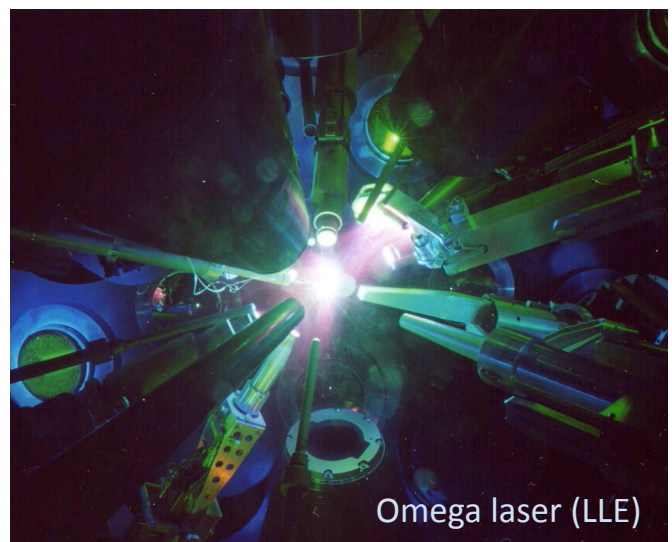
- Velocity (first shock):
 $17 \pm 0.9 \text{ km/s}$

- Velocity (2nd shock):
 $23 \pm 1.0 \text{ km/s}$

ρ	0.68 g/cc
P	0.76 Mbar
T	0.75 eV

Inercialni fuze

- Tyto laserove systemy maji desitky az stovky jednotlivych paprsku, ktere se vsechny soustredi do jednoho bodu => rovnemerne ozareni fuzni kulicky
- Vysko-energeticke lasery (kazdy paprsek ma 200 – 1000 J)
- Pomerne dlouhe pulsy nekolik nanosekund => vykon: 10^{12} W = TW !!!
- Tyto parametry jsou velmi dulezite pro vyzkum inercialni fuze a laboratorni astrofyziky
- Lasery jsou schopne vytvorit podminky panujici v nitrech velkych planet a hvezd



Inercialni fuze

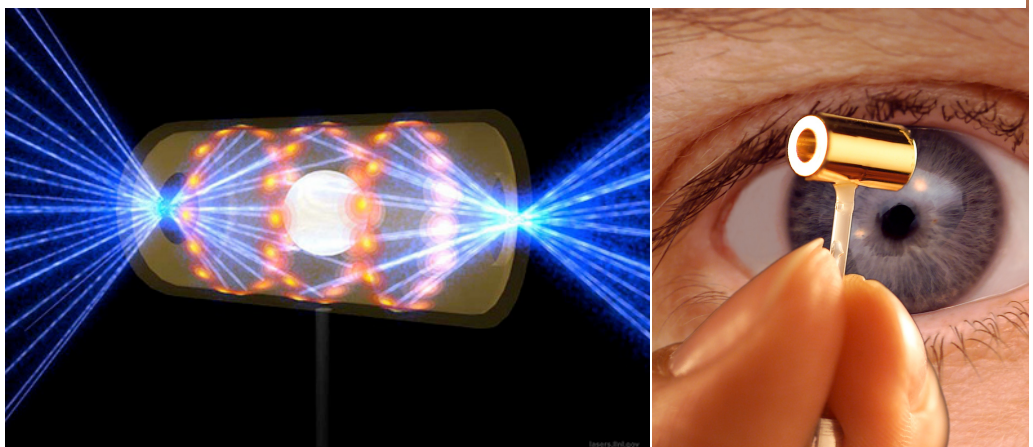
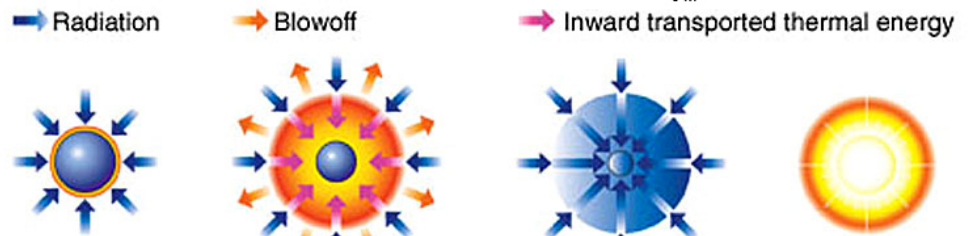
Vedle velmi zname magneticke fuze, kterou si fyzikove procvicuji na tokamacich JET a brzo snad i v ITERu, existuje nemala skupinka vedcu, kteri se pokouseji o "zazech" na nejvetsich laserovych systemech sveta jako NIF, Omega nebo Gekko.

- Direct drive:

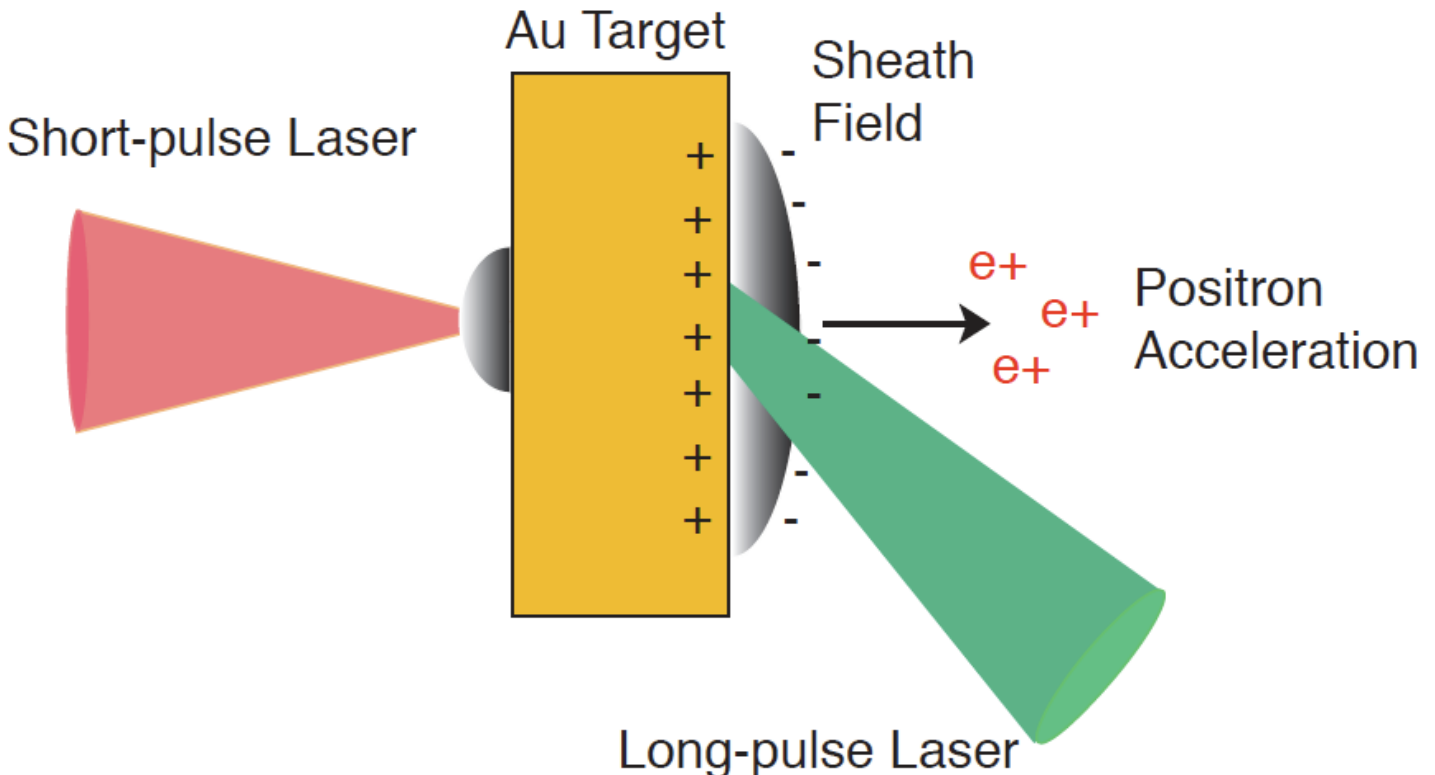
Lasery uniforme ozari povrch zmrazene kulicky deuteria tritia (D-T). Hmota z povrchu se rychle zahreje a zacne expandovat jako raketa. Silne sokova vlna pak padi smarem do centra, pricemz stlakuje a zahriva vodik uvnitr, ve kterem se nakonec zazehne termonuklearni reakce.

- Indirect drive:

Lasery zari na vnitri povrchu zlateho hohlraumu, ktery vyzaruje silne a rovnomerne Rentgenove zareni, ktere pohani sokovou vlnu v D-T.



Lasery umi vyrabet i positrony!



- Two Possible Mechanisms:

- Direct process:



- Trident process

- Indirect process (via Bremsstrahlung):

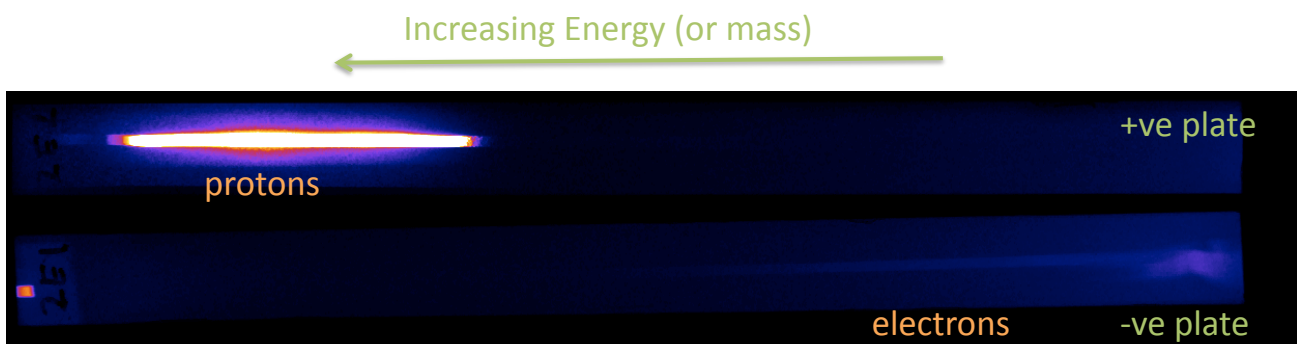
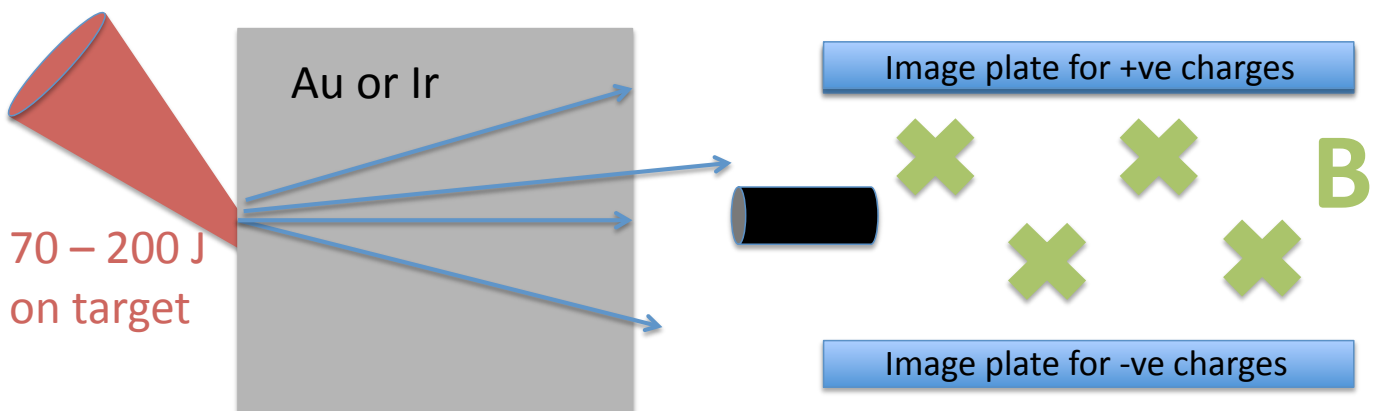


- Bethe-Heitler (BH) Process

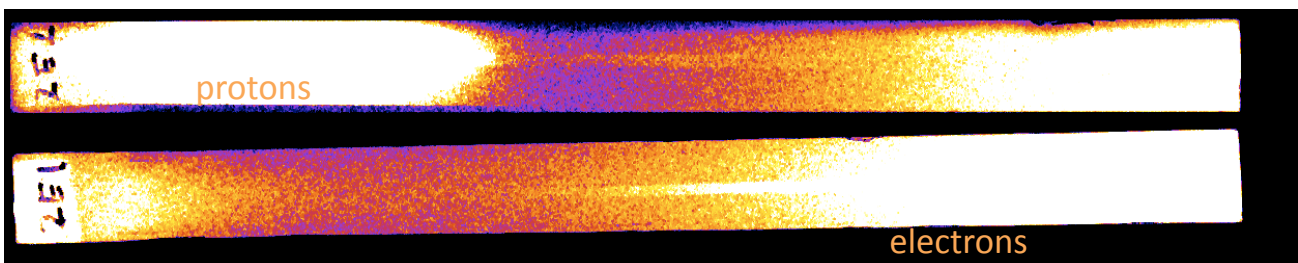
- Since electrons have a shorter stopping distance thick targets favour BH

Obsah přednášky

- Laser vyrabi celou radu nabitych castic a fotonu, ze zadni strany jsou urychleny elektrony, positrony, protony a ionty



POSITRONS!!!



Dalsi priklady & zaver

- Dalsi priklady astrofyzikalnich objektu, ktere se simuluji v laboratorich pri podobnych experimentech:
 - vybuchy supernov (Z-pinche, lasery)
 - dynamika Slunce/hvezd & korona (lasery)
 - akrecni disky & MHD nestability (lasery)
 - mlhoviny/molekulova mracna (lasery, Z-pinche)
 - kosmicke zareni (SLAC)
 - cerne diry (urychlovace)
 - Velky tresk (LHC ???)
 - ... atd ...
- Laboratorni astrofyzika se v poslednich letech stala dulezitou soucasti vyzkumu vesmirnych objektu
- S novymi energeticemi lasery, Z-pinchi, urychlovaci a dalsimi vykonnymi zarizenimi jsou dnesni vedci schopni vytvaret i ty nejextremnejsi podminky panujici ve vesmiru
- Hlavni výhodou techto experimentu je siroka skala diagnostickych technik, ktere primo a soubezne mohou studovat fyzikalni procesy – astronomove maji k dispozici jen omezene mnozstvi diagnostik (spektroskopie - teleskopy, magnetometry +chemicka analiza – kosmicke sondy)